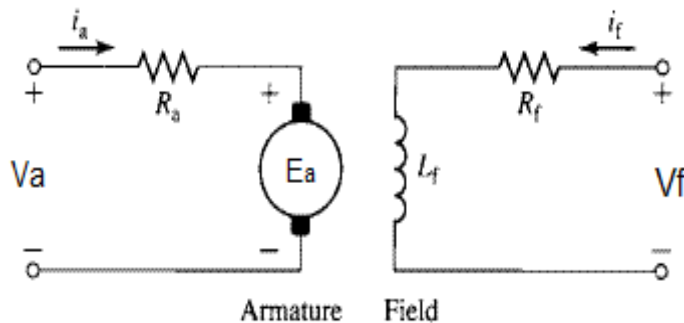


المحاضرات من ٣ حتى النهاية
آلات التيار المستمر
السنة الثانية. تغذية كهربائية

المميزات الكهروميكانيكية والميكانيكية لمحركات التيار المستمر :

بشكل رئيسي يضم محرك التيار المستمر قسمين رئيسين وهما: الجزء الثابت ويسمى أيضاً بالمحرر وفيه تتواجد ملفات الحقل أو ملفات التهيئة (وفي بعض الأحيان مغناطيس دائم لتوليد حقل مغناطيسي ثابت)، والجزء الدائر والذي يحوي على ملفات المترعرضة ويرتديها تيار الحمل. قبل دراسة مميزات محركات التيار المستمر لابد من التمييز بين المميزات الطبيعية لآلية المترعرضة وتلك الاصطناعية. المميزات الطبيعية تهم بدراسة خصائص المحرك التصميمية فقط، بينما الاصطناعية تهم بدراسة تأثير وجود مقاومات خارجية تسلسلية مع دارة المترعرض على مميزات عمل المحرك.

٣ - ١- المميزات الكهروميكانيكية والميكانيكية لمحركات التيار المستمر المستقلة والتفرعية :
 بالنسبة لمحركات التيار المستمر ذات التهيئة المستقل تتم تغذية ملفات التهيئة من مصدر خارجي وبشكل مستقل عن ملفات المترعرض كما يوضح الشكل (١-٣).



الشكل (١-٣): الدارة الكهربائية المكافئة لمحرك تيار مستمر ذو تهيئة مستقل

حيث V_f و V_a يمثلان الجهد المطبق على دارت التهيئة والمترعرض على الترتيب، بينما i_f و i_a هما تيارات ملفات التهيئة والمترعرض على الترتيب. E_a تمثل القوة المحركة الكهربائية المترعرضة في الدائر ذو المقاومة R_a . R_f تمثل مقاومة ملفات التهيئة والتي تكون كبيرة نسبياً أمام مقاومة ملف المترعرض. في المحركات ذات التهيئة المستقل وعند توفر مقاومة ثابتة لدارة التهيئة فإن الفيض المغناطيسي ϕ يبقى ثابتاً ولا يتغير بتغيرات الحمولة (المتمثلة بالتيار i_a)، لذلك وعند عمل الآلة ضمن مجالها الخطى يمكننا أن نكتب علاقة تناسب الفيض مع تيار التهيئة (ثابت التناسب α) بالشكل المبسط التالي :

$$\phi = \alpha \cdot I_f \quad (١ - ٣)$$

بالاعتماد على الدارة المكافئة للمحرك يمكننا كتابة العلاقات الكهربائية المميزة بالشكل الآتي :

$$V_f = R_f \cdot I_f$$

$$I_L = I_a$$

$$V = E_a + R_a \cdot I_a$$

$$T_a = C_m \cdot \phi \cdot I_a$$

$$E_a = C_e \cdot \phi \cdot n$$

$$E_a = C_m \cdot \phi \cdot \omega \quad (٢ - ٣)$$

حيث:

V : يمثل الجهد على مرابط الآلة (V)

I_L : يمثل تيار المحرك المسحوب من الشبكة وهو نفسه تيار المترعرض i_a (A).

T_a : تمثل عزم المترعرض (N.m).

C_e : يمثل ثابت الآلة الكهربائي.

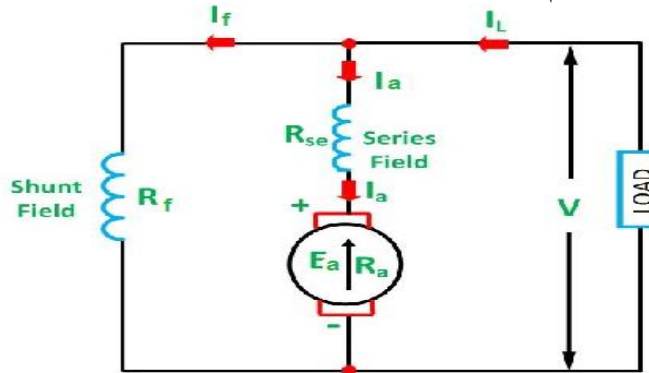
C_m : يمثل ثابت الآلة الميكانيكي.

n : سرعة دوران محور المحرك (r.p.m)

ω : السرعة الزاوية (rad/sec) $(\omega = \frac{2\pi n}{60})$.
عند عمل الآلة كمحرك سينعكس اتجاه التيار I_L وسيعطى الجهد الكهربائي المترافق بدلالة القوة المحركة الكهربائية بالشكل :

$$V = E_a - R_a \cdot I_a \quad (3-3)$$

أما فيما يخص محرك التيار المستمر التفرعي والموضح بالشكل (٢-٣) فإنه يعد حالة خاصة من محركات التيار المستمر ذات التهيئة المستقلة، حيث الفيصل ثابت ولا يتعلق بالحمل، لذلك يمكن اعتبار أن مميزات هذين النوعين متشابهة تقريباً لذلك ستم دراستها معاً.



الشكل (٢-٣): الدارة المكافئة لمحرك التيار المستمر التفرعي

بالاعتماد على العلاقات (٣-٢) يمكن كتابة علاقة الجهد الكهربائي بالشكل:

$$V = C_e \cdot \phi \cdot n + R_a \cdot I_a \quad (4-3)$$

أو

$$V = C_m \cdot \phi \cdot \omega + R_a \cdot I_a \quad (5-3)$$

انطلاقاً من العلاقاتتين الأخيرتين يمكننا أن نكتب :

$$n = \frac{V}{C_e \cdot \phi} - \frac{R_a}{C_e \cdot \phi} I_a \quad (6-3)$$

أو

$$\omega = \frac{V}{C_m \cdot \phi} - \frac{R_a}{C_m \cdot \phi} I_a \quad (7-3)$$

العلاقاتين (٦-٣) و (٧-٣) تمثلان المميزات الكهروميكانيكية لمحركات التيار المستمر المستقلة والتفرعية. باعتبار أن الفيصل في هذه الأنواع من المحركات يعد ثابتاً لذلك فإن الجداء $C_e \cdot \phi$ أو $C_m \cdot \phi$ يعتبر أيضاً ثابتاً، وهذا يعني أن الطرف الأول من كلا المعادلين السابقتين هو مقدار ثابت وذلك عند جهد تغذية ثابت و يمثل سرعة المحرك على فراغ.

$$n_0 = \frac{V}{C_e \cdot \phi}, \quad \omega_0 = \frac{V}{C_m \cdot \phi} \quad (8-3)$$

أما الحد الثاني من العلاقات فهو متغير مع الحمل والمتمثل بالتيار I_a ، وهذا الحد يمكن اعتباره بمثابة هبوط سرعة المحرك بسبب الحمل ويساوي :

$$\Delta n = \frac{R_a \cdot I_a}{C_e \cdot \phi}, \quad \Delta \omega = \frac{R_a \cdot I_a}{C_m \cdot \phi} \quad (9-3)$$

بالاعتماد على ما سبق يمكن إعادة كتابة معادلة المميزات الكهروميكانيكية لمحركات التيار المستمر المستقلة والتفرعية بالشكل المبسط الآتي :

$$n = n_0 - \Delta n, \quad \omega = \omega_0 - \Delta \omega \quad (10-3)$$

بالعودة إلى معادلة عزم المحرك والمبنية بالمعادلات (٢-٣) يمكن أن نستنتج علاقة تيار الحمل I_a مع العزم T_a بالشكل الآتي :

$$I_a = \frac{T_a}{C_m \cdot \phi} \quad (11-3)$$

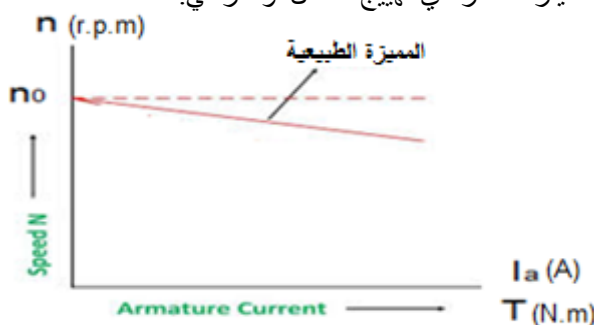
بتبديل قيمة التيار I_a من العلاقة (١١-٣) في المعادلات (٦-٣) و (٧-٣) نجد :

$$n = \frac{V}{C_e \cdot \phi} - \frac{R_a}{C_e \cdot C_m \cdot \phi^2} T_a \quad (12-3)$$

أو

$$\omega = \frac{V}{C_m \cdot \phi} - \frac{R_a}{C_m^2 \cdot \phi^2} T_a \quad (13-3)$$

المعادلتان (12-3) و (13-3) تمثلان المميزات الميكانيكية الطبيعية لمحرك التيار المستمر ذي التهيج المستقل والتفرعي، وهي مشابهة لنظيرتها الكهروميكانيكية، فهناك حد أول ثابت لا يتعلّق بالحمولة (حالة العمل على فراغ) وحد ثانٍ يرتبط بالحمولة ويمثل هبوط سرعة المحرك. الشكل (3-3) يبيّن المميزات الكهروميكانيكية والميكانيكية الطبيعية لمحرك تيار مستمر ذي تهيج مستقل أو تفرعي.



الشكل (3-3): **المميزة الكهروميكانيكية والميكانيكية الطبيعية** لمحرك التيار المستمر ذي التهيج المستقل والتفرعي

نلاحظ من الشكل السابق بأن للمميزة الكهروميكانيكية والميكانيكية الطبيعية لمحرك ميل طفيف يزداد مع زيادة حمولة المحرك، كما أنه من الواضح أن تغيرات سرعة المحرك مع الحمولة تعتبر محدودة نسبياً وهذا ما يجعلنا نعتبر وبنقريب مقول أن سرعة المحرك المستقل والتفرعي تبقى ثابتة مع زيادة الحمل. عدم تغيير سرعة المحرك التفرعي بشكل كبير مع الحمولة تجعله مناسباً للتطبيقات المنزلية وبعض التطبيقات الصناعية التي لا يتطلب عملها تغيير في السرعة.

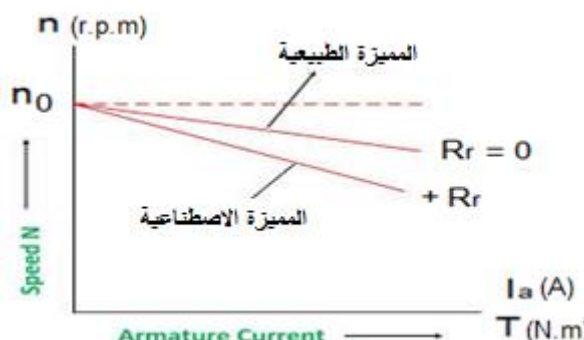
أما المميزة الاصطناعية لمحرك المستقل والتفرعي فإننا نحصل عليها عند إضافة مقاومة أو مجموعة مقاومات تسلسلية إلى دارة المترasmus بغضّ الحد من قيمة تيارات الإلقاء الخطرة. في هذه الحالة سيُغيَّر الحد الأول من معادلات المميزات ثابت (المتمثل بسرعة العمل على فراغ)، والذي سيُغيَّر فقط هو الحد اليميني الثاني (الذي يمثل هبوط سرعة المحرك)، والذي يصبح بالنسبة للمميزة الكهروميكانيكية، إذا اعتبرنا أننا أضفنا مقاومة واحدة تسلسلية إلى دارة المترasmus، كالتالي :

$$\Delta n = \frac{(R_a + R_r) \cdot I_a}{C_e \cdot \phi}, \Delta \omega = \frac{(R_a + R_r) \cdot I_a}{C_m \cdot \phi} \quad (14-3)$$

وبالنسبة إلى المميزة الميكانيكية الاصطناعية يصبح هبوط السرعة :

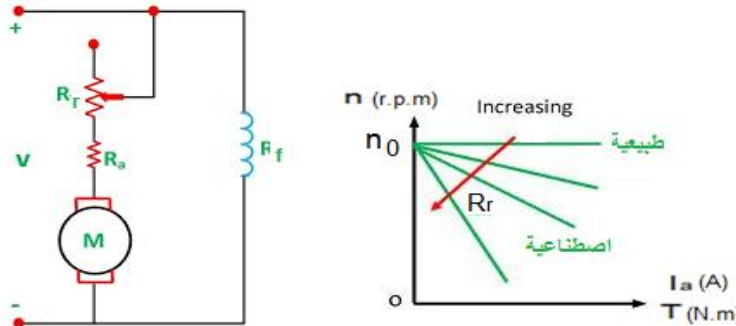
$$\Delta n = \frac{(R_a + R_r) \cdot T_a}{C_e \cdot C_m \cdot \phi^2}, \Delta \omega = \frac{(R_a + R_r) \cdot T_a}{C_m^2 \cdot \phi^2} \quad (15-3)$$

وجود هذه المقاومة التسلسلية يجعل المميزة الكهروميكانيكية والميكانيكية الاصطناعية أكثر ميلاً (أقل قساوة) من المميزة الطبيعية وذلك تبعاً لقيمة R_r كما يبيّن الشكل (4-3).



الشكل (4-3): **المميزة الاصطناعية** لمحرك التيار المستقل والتفرعي بإضافة مقاومة واحدة

يمكن أن تتم إضافة مجموعة مقاومات إلى دارة المترس لحصول على حزمة من المستقيمات تتطرق جميعها من نقطة واحدة على محور السرعة وهي n_0 كما يوضح الشكل (٥-٣).



الشكل (٥-٣): الميزة الاصطناعية للمحرك ذي التهيج المستقل والتفرعي بإضافة عدة مقاومات

١-٢-١-١-١-١- إنشاء المميزات الكهروميكانية والميكانيكية لمحركات التيار المستمر المستقلة والتفرعية :
وجدنا سابقاً بأن ميزة المحرك المستقل والتفرعي عبارة عن خط مستقيم، ورياضياً يكفي لرسم هذا المستقيم معرفة احداثيات نقطتين فقط.ختار احداثيات النقطة الأولى بسهولة من اللوحة الإسمية للمotor بحيث تكون (I_n , n_n) للميزة الكهروميكانية و(T_n , n_n) للميزة الميكانيكية. يمكننا استبدال سرعة الدوران n بالسرعة الزاوية ω . أما عزم المحرك الاسمي T_n فيمكننا تحديده من الاستطاعة الاسمية للمotor P_n بالاعتماد على العلاقة الآتية :

$$T_n = 9,55 \cdot \frac{P_n}{n_n} \quad (١٦ - ٣)$$

أما النقطة الثانية فهي النقطة المقابلة للسرعة على فراغ، وهذه النقطة تكون نفسها في المميزات الطبيعية وكذلك الاصطناعية، واحداثاتها ($0, n_0$), ويمكننا استنتاجها على النحو الآتي :
من العلاقات (٢-٣) نستنتج سرعة المحرك على فراغ ($E=0$) :

$$\begin{aligned} n_0 &= \frac{V}{C_e \cdot \phi} \\ E_n &= C_e \cdot \phi \cdot n_n = V - I_{an} \cdot R_a \\ C_e \cdot \phi &= \frac{V - I_{an} \cdot R_a}{n_n} \end{aligned}$$

ف تكون العلاقة بين سرعة العمل على فراغ وتلك الاسمية كالتالي :

$$n_0 = \frac{V}{V - I_{an} \cdot R_a} \cdot n_n \quad (١٧ - ٣)$$

ولرسم هذه المميزات لابد من تحديد قيمة مقاومة المترس R_a يمكننا ذلك بالاعتماد على فرضية تساوي ضياعات المحرك الكلية مع الضياعات النحاسية للمترس وذلك عند المردود الأعظمي للمotor أي : η_{max}

$$\begin{aligned} \sum \Delta P &= 2 \cdot I^2 \cdot R_a = P_{in} - P_{out} = P_{in}(1 - \eta_{max}) = V_n \cdot I \cdot (1 - \eta_{max}) \\ \sum \Delta P &= 2 \cdot I^2 \cdot R_a \end{aligned}$$

ومنه :

$$R_a = \frac{V_n}{2I} (1 - \eta_{max}) = 0,5(1 - \eta_{max}) \frac{V_n}{I} \quad (١٨ - ٣)$$

حيث I هو التيار عند المردود الأعظمي.
بنقريبي مقبول يمكن اعتبار أن المردود الأعظمي يحصل عند المردود الاسمي، في هذه الحالة يمكن أن نعيد صياغة المعادلة (١٨-٣) على النحو الآتي :

$$R_a = \frac{V_n}{2I} (1 - \eta_n) = 0,5(1 - \eta_n) \frac{V_n}{I_n} \quad (١٩ - ٣)$$

أما بالنسبة للميزة أو المميزات الاصطناعية فهي كالمميزة الطبيعية عبارة عن خطوط مستقيمة تنطلق من نفس النقطة (سرعة العمل على فراغ n_0)، أما بالنسبة لإحداثيات النقطة الثانية فهي المقابلة للقيمة الاسمية للسرعة والتيار والعزم. عند الحمولة الاسمية يمكن تحديد قيمة السرعة الاسمية n_{nr} من العلاقة الآتية :

$$n_{nr} = n_0 \left[1 - \frac{I_n(R_a + R_r)}{V} \right] \quad (20-3)$$

حيث R_r هي المقاومة المضافة إلى دارة المترس.

مثال: ٢-٣ - محرك تيار مستمر ذو تهبيج تفرعي يملك القيم الاسمية التالية:

$V_n=220 \text{ V}$, $I_n=101 \text{ A}$, $P_n=18 \text{ Kw}$, $n_n=800 \text{ r.p.m}$, $R_a=0,242 \Omega$

والمطلوب رسم المميزة الميكانيكية الطبيعية والاصطناعية للمحرك عند اضافة مقاومة تسلسلية للمترس قدرها $0,97 \Omega$.

الحل:

١ - لرسم المميزة الطبيعية نقوم بتحديد احداثيات نقطتين: الأولى توافق عمل المحرك على فراغ وهي $(T=0, n=n_0)$ والتي نحسبها من العلاقة الآتية :

$$n_0 = n_n * \frac{V}{V - I_{an} \cdot R_a} = 800 * \frac{220}{220 - 101 * 0,242}$$

$$n_0 = 900 \text{ r.p.m}$$

وهي نفسها من أجل الاحاديث $(0,900)$ فتكون احداثيات النقطة الأولى الاصطناعية.

أما النقطة الثانية فهي الموافقة للحمولة الاسمية (T_n, n_n)

$$T_n = 9,55 * \frac{P_n}{n_n} = 9,55 * \frac{18000}{800} = 214,875 \text{ N.m}$$

ف تكون احداثيات النقطة الثانية للمميزة الطبيعية هي $(214.8, 800)$.

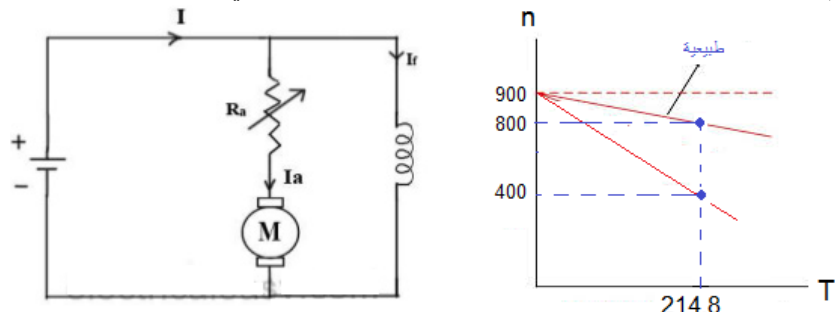
٢ - لرسم المميزة الاصطناعية يكفي تحديد احداثيات النقطة الثانية الموافقة لعمل المحرك عند الحمولة الاسمية (T_n, n_{nr}) . نقطة العمل على فراغ هي نقطة مشتركة لجميع المميزات لذلك يكفي أن نحسب السرعة الاسمية بعد اضافة المقاومة التسلسلية :

$$n_{nr} = n_0 \left[1 - \frac{I_n(R_a + R_r)}{V} \right] = 900 \left[1 - \frac{101 * (0,242 + 0,97)}{220} \right]$$

$$n_{nr} = 400 \text{ r.p.m}$$

نحدد النقطة ذات الأحداثيات $(400, 214.8)$.

يمكننا الآن رسم المميزتين الطبيعية والاصطناعية للمحرك على الشكل التالي :



الدارة المكافحة والمميزتين الطبيعية والاصطناعية للمحرك التفرعي في المثال

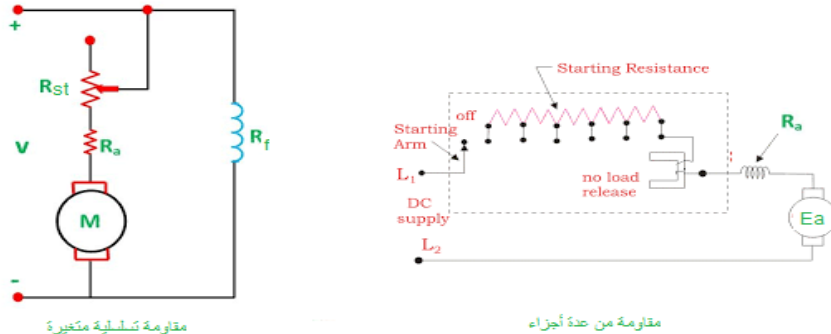
٢-١-٣ - إقلاع محركات التيار المستمر المستقلة والتفرعية :

عند تغذية المحرك المستمر المستقل أو التفرعي ومن دون وجود مقاومات إقلاع تكون قيمة القوة المحركة الكهربائية متساوية للصفر ($E_a=0$) باعتبار أن المحرك في حالة توقف). وبما أن مقاومة المترس

صغريرة نسبياً بالنسبة إلى مقاومة التهبيج عند سير تيار كبير جداً في مתר accrue المحرك (قد يصل إلى عشرات أضعاف التيار الاسمي)، هذا التيار يساوي تيار الدارة القصيرة ويتم حسابه من العلاقة الرياضية الآتية :

$$I_{st} = \frac{V - 0}{R_a} = \frac{V}{R_a} \quad (21-3)$$

مثل هذا التيار لا يتلاع وشروط الحرارة للمحرك فمروره سينشر حرارة عالية داخل المحرك، لذلك لابد من حماية ملفات متر accrue المحرك من هذا التيار (كون تيار التهبيج مستقل ولا يتعلق بشروط الإقلاع والتحميل)، ويتم ذلك عن طريق الحد من قيمة العالية إلى قيم مقبولة يمكن للمحرك أن يتحملها خلال فترة الإقلاع (بما لا يزيد عن ضعفين ونصف ضعف التيار الاسمي). تقليل قيمة تيار الإقلاع يتم عن طريق إضافة مقاومة خارجية ثابتة أو متغيرة تسمى مقاومة الإقلاع (R_{st}) أو (ريستانت) تتصل على التسلسل مع ملفات المتر accrue كما هو مبين على الشكل (٦-٣). هذه المقاييس يمكن أن تكون مؤلفة من أجزاء عدة يتم اخراجها على مراحل خلال فترة الإقلاع بما يناسب شروط عمل المحرك الحراري. مقاومات الإقلاع هذه تستهلك جزءاً من القدرة الكهربائية نتيجة لمورر التيار فيها، لذلك لابد من تبريدتها بالهواء أو الزيت واخراجها بعد انتهاء مهمتها في الإقلاع مالم يكن لها دور في التحكم بالسرعة.



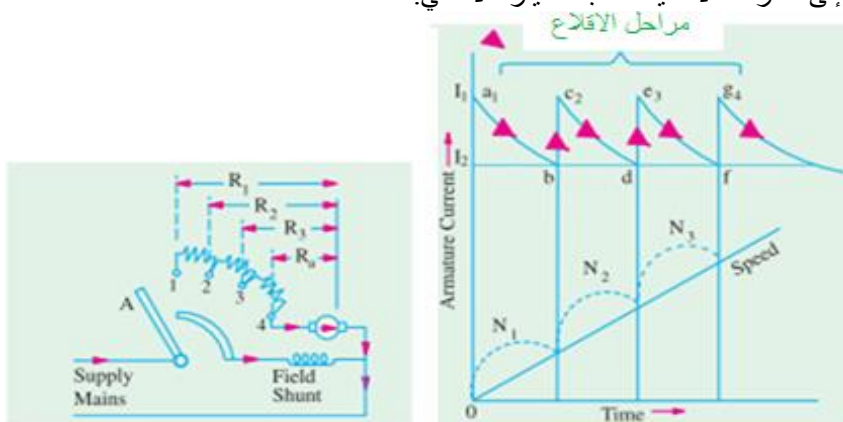
الشكل (٦-٣) مقاومات الإقلاع التسلسلية في المحرك التفرعي

في بداية الإقلاع يتم ادخال كامل مقاومة الإقلاع ومن ثم يتم اخراجها تدريجياً بعد فترة زمنية محددة أو تبعاً لسرعة المحرك. تيار الإقلاع سيتأرجح طيلة فترة الإقلاع بين قيمتين حديتين هما :

- I_1 : تيار الإقلاع الأعظمي المسموح به (تبعاً للشروط الحرارية للمحرك) وتقع قيمته ضمن المجال $(2-2,5)I_n$.
- I_2 : تيار الإقلاع الأصغرى والذي يحدد اللحظة الزمنية المناسبة لإخراج إحدى مقاومات الإقلاع التسلسلية، وتكون قيمته محصورة ضمن المجال $(1,1-1,25)I_n$.

يبين الشكل (٧-٣) تأرجح تيار الإقلاع بين القيميتين I_2 و I_1 وذلك مع زيادة السرعة ومع إخراج مقاومة تسلسلية من دائرة المتر accrue.

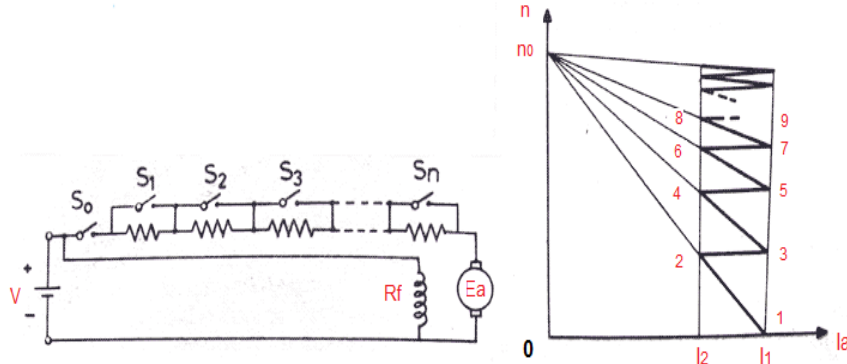
فعند زيادة السرعة ينخفض التيار إلى القيمة I_2 بينما يقفز من I_2 إلى I_1 نتيجة لفصل إحدى المقاومات، وهذا حتى الوصول إلى السرعة الاسمية المقابلة للتيار الاسمي.



الشكل (٧-٣) : تغير تيار الإقلاع وسرعة الدوران أثناء الإقلاع

٣-٢-١- آلة إقلاع محركات التيار المستمر المستقلة والتفرعية :

يوضح الشكل (٨-٣) مخطط المميزة الكهروميكانية لاصطناعية لمحرك تيار مستمر تفرعي، أثناء فترة إقلاع المحرك على مراحل يتارجح تيار الإقلاع بين القيمتين I_2 و I_1 كما ذكرنا سابقاً (يمكنا اختيار أربع مراحل مثلاً). ولتحقيق أكبر عزم إقلاع ممكن يتم الإقلاع بوجود مقاومة ملطف التهبيج فقط (من دون أي مقاومة تسلسلية مع ملف التهبيج). عند الإقلاع نطبق كامل جهد الشبكة على متعرض المحرك ويقلع المحرك بوجود كامل مقاومات إقلاعه، ولتكن هنا أربع مقاومات ($R_{st} = r_1 + r_2 + r_3 + r_4$).



الشكل (٨-٣): مراحل إقلاع المحرك التفرعي

النقطة (1) تمثل لحظة إقلاع المحرك والتي تقابل تيار الإقلاع I_1 حيث السرعة والقوة المحركة الكهربائية متساوية للصفر (لحظة الإقلاع)، يساوي تيار الإقلاع في هذه اللحظة :

$$I_{st} = I_1 = \frac{V - 0}{R_a + R_{st}} = \frac{V}{R_a + R_{st}} \quad (٢٢ - ٣)$$

تبدأ بعدها سرعة الدوران بالازدياد وتبدأ معها القوة المحركة الكهربائية بالظهور والازدياد، وهذا يؤدي إلى تنقص قيمة تيار الإقلاع حتى يصل إلى القيمة I_2 عند النقطة (2) بالشكل، وعند هذا التيار تكون السرعة متساوية إلى القيمة n_1 . نحسب I_2 من العلاقة الآتية :

$$I_{st} = I_2 = \frac{V - E_{a1}}{R_a + R_{st}} ; \quad E_{a1} = C_e \cdot \phi \cdot n_1 \quad (٢٣ - ٣)$$

عند النقطة (2) نقوم بفصل المقاومة r_1 فيقفز التيار مباشرة إلى القيمة I_1 المقابلة للنقطة (3)، بينما تبقى القوة المحركة والسرعة دون تغيير (الاستجابة الكهربائية أسرع من الميكانيكية)، لذلك تكون السرعة والقوة المحركة الكهربائية بين النقطتين (2) و (3) ثابتة. التيار عند النقطة (3) يساوي إلى :

$$I_1 = \frac{V - E_{a1}}{R_a + r_2 + r_3 + r_4} \quad (٢٤ - ٣)$$

عند النقطة (3) تبدأ سرعة الدوران بالازدياد وتزداد معها القوة المحركة الكهربائية حتى تساوي E_{a2} و المقابلة للسرعة n_2 ($E_{a2} = C_e \cdot \phi \cdot n_2$). مع زيادة السرعة ينقص التيار حتى يصل إلى القيمة I_2 وذلك عند النقطة :

$$I_2 = \frac{V - E_{a2}}{R_a + r_2 + r_3 + r_4} \quad (٢٥ - ٣)$$

عند النقطة (4) نقوم بفصل المقاومة r_2 فيقفز التيار مباشرة إلى القيمة I_1 المقابلة للنقطة (5) بينما تبقى القوة المحركة والسرعة دون تغيير، لذلك تبقى السرعة والقوة المحركة الكهربائية بين النقطتين (4) و (5) ثابتة. التيار عند النقطة (5) يساوي إلى :

$$I_1 = \frac{V - E_{a2}}{R_a + r_3 + r_4} \quad (٢٦ - ٣)$$

عند النقطة (5) تعود السرعة والقوة المحركة الكهربائية للازدياد من جديد حتى القيمة E_{a3} المقابلة للسرعة n_3 ($E_{a3} = C_e \cdot \phi \cdot n_3$)، ويتناقص بالنتيجة تيار الإقلاع حتى القيمة I_2 وذلك عند النقطة (6)، ويساوي في هذه الحالة :

$$I_2 = \frac{V - E_{a3}}{R_a + r_3 + r_4} \quad (27 - ٣)$$

عند النقطة (6) المقابلة للتيار I_2 تقوم بفصل المقاومة r_3 فيقفز التيار مجدداً إلى قيمته العظمى I_1 وذلك عند النقطة (7)، بينما تبقى السرعة والقوة المحركة الكهربائية ثابتة بين النقطتين (6) و(7). نحسب I_1 من العلاقة الآتية :

$$I_1 = \frac{V - E_{a3}}{R_a + r_4} \quad (28 - ٣)$$

تستمر السرعة بالازدياد ومعها القوة المحركة الكهربائية حتى تصل إلى القيمة n_4 والتي تقابلها قوة محركة كهربائية قدرها E_{a4} ($E_{a4} = C_e \cdot \phi \cdot n_4$) وذلك عند النقطة (8). وينخفض معها التيار حتى القيمة I_2 التي يمكن حسابها رياضياً من العلاقة الآتية :

$$I_2 = \frac{V - E_{a4}}{R_a + r_4} \quad (29 - ٣)$$

عند النقطة (8) يتم فصل آخر مقاومة إقلاع (المقاومة r_4) مما يسبب زيادة مباشرة للتيار I_2 إلى القيمة I_1 وذلك عند النقطة (9) مع بقاء السرعة والقوة المحركة الكهربائية دون تغيير. نحسب I_1 بعد فصل جميع مقاومات الإقلاع من العلاقة الآتية :

$$I_1 = \frac{V - E_{a4}}{R_a} \quad (30 - ٣)$$

عند النقطة (9) تعود سرعة المحرك وبالتالي قوته المحركة الكهربائية للازدياد حتى تصل السرعة إلى قيمتها الاسمية n_n وكذلك تيار المترس I_n . وينتقل المحرك للعمل على مميزته الطبيعية. بإخراجنا للمقاومة r_4 تكون قد أخرجنا جميع مقاومات الإقلاع في مثالنا السابق. مع الملاحظة أن عدد مراحل الإقلاع يمكن أن يكون أكثر أو أقل من ذلك وهذا يعود إلى طبيعة المحرك وشروط افلاته الآمنة. كما أن عملية الدخال والخروج هذه المقاومات يمكن أن يكون يدوياً أو آلياً.

٣-٢-٤-٤- حساب مقاومات الإقلاع ودرجاتها تحليلياً :
بالعودة إلى الشكل (٨-٣)، عند لحظة الإقلاع (الموافقة للنقطة 1) تكون لدينا السرعة و القوة المحركة الكهربائية مساويتان للصفر والتيار مساوياً لقيمة I_1 . يمكننا أن نكتب معادلات المحرك الكهربائية بالشكل الآتي :

$$\begin{aligned} I &= I_1 ; \quad E_{a1} = 0 \\ U &= 0 + I_1(R_a + R_{st}) \\ R_{st} &= \frac{V}{I_1} - R_a \end{aligned} \quad (31 - ٣)$$

عند لحظة فصل إحدى مقاومات الإقلاع ستبقى السرعة والقوة المحركة الكهربائية ثابتة، مما يعني ثبات السرعة n وكذلك القوة المحركة الكهربائية E بين النقاط (2 و 3)، (4 و 5)، (6 و 7)، (9 و 8). لذلك فعند النقطة (2) و (3) يكون لدينا :

$$\begin{aligned} E_{a2} &= E_{a3} \\ V - I_2(R_a + R_{st}) &= V - I_1(R_a + R_{st} - r_1) \\ \frac{I_2}{I_1} &= \frac{R_a + R_{st} - r_1}{R_a + R_{st}} \\ r_1 &= (R_a + R_{st}) \cdot \left(1 - \frac{I_2}{I_1}\right) \end{aligned} \quad (32 - ٣)$$

ويمكننا الآن أن نكتب معادلات المحرك الموافقة للحظة فصل المقاومة r_2 ، أي بين النقطتين (4) و (5) بالشكل الآتي :

$$E_{a4} = E_{a5}$$

$$V - I_2(R_a + R_{st} - r_1) = V - I_1(R_a + R_{st} - r_1 - r_2)$$

$$\frac{I_2}{I_1} = \frac{R_a + R_{st} - r_1 - r_2}{R_a + R_{st} - r_1}$$

$$r_2 = (R_a + R_{st} - r_1) \cdot (1 - \frac{I_2}{I_1}) \quad (33 - 3)$$

وبشكل مشابه بين النقاط (6) و (7) وكذلك (8) و (9) إلى أن ننتهي من فصل جميع مقاومات الإقلاع والتي في حالتنا تساوي 4 مقاومات.
لو فرضنا أن لدينا m درجة إقلاع يمكن أن نحسب المقاومة الأخيرة r_m كما يأتي :

$$E_{a(m-1)} = E_{a(m)}$$

$$V - I_2(R_a + R_{st} - r_1 - r_2 - \dots - r_{m-1}) = V - I_1 \cdot (R_a)$$

$$\frac{I_2}{I_1} = \frac{R_a}{(R_a + R_{st} - r_1 - r_2 - \dots - r_{m-1})}$$

$$r_m = R_{st} - r_1 - r_2 - \dots - r_{m-1} \quad (34 - 3)$$

بضرب جميع النسب السابقة للتيار $\left(\frac{I_2}{I_1}\right)$ ببعضها البعض والتي عددها (m) نحصل على ما يأتي :

$$\left(\frac{I_2}{I_1}\right)^m = \frac{R_a}{R_a + R_{st}} \quad (35 - 3)$$

ومنه :

$$I_2 = I_1 \cdot \sqrt[m]{\frac{R_a}{R_a + R_{st}}} \quad (36 - 3)$$

يمكنا القول بأنه لحساب مقاومة الإقلاع ودرجاتها تحليلياً علينا تحديد ما يلي :

١. قيمة تيار الإقلاع الأعظمي I_1 بحيث يقع ضمن المجال (2.5-2) من قيمة تيار المحرك الاسمي.
٢. قيمة تيار الإقلاع I_2 بحيث يكون أكبر من قيمة التيار الاسمي I_n وأصغر من قيمة تيار الإقلاع الأعظمي I_1 .
٣. مقاومة الإقلاع الكلية من العلاقة التالية : $R_{st} = \frac{V}{I_1} - R_a$.
٤. عدد درجات الإقلاع m من العلاقة (3 - 36) بعد تحديد قيمة تياري الإقلاع ومقاومة الإقلاع وذلك بأخذ لوغاريتم الطرفين :

$$m = \frac{\ln\left(\frac{R_a + R_{st}}{R_a}\right)}{\ln\left(\frac{I_1}{I_2}\right)} \quad (37 - 3)$$

مثال: ٤-٣ - لدينا محرك تيار مستمر ذو تهبيج تفرعي يملك القيم الاسمية الآتية :

$$V_n = 200 \text{ V}, P_n = 10 \text{ hp}, R_a = 0,25 \Omega, \eta = 85\%.$$

أحسب قيمة مقاومة الإقلاع اللازمة للحد من تيار الإقلاع إلى 1.5 مرة من قيمة تيار المحرك الاسمي. أحسب قيمة القوة المحركة الكهربائية الكلية للمحرك عندما يهبط التيار إلى قيمته الاسمية معتبراً أن مقاومة الإقلاع الكلية لا تزال في الدارة. ملاحظة: يمكن إهمال تيار التهبيج.

الحل :

$$I_L = \frac{P_2}{V \cdot \eta} = \frac{7460}{200 * (0,85)} = 43,88 \text{ A}$$

فيكون تيار الإقلاع الأعظمي I_1 مساوياً للفيقيمة :

$$I_1 = 1.5 * I_L = 66,83 \text{ A}$$

نحسب مقاومة الإقلاع الكلية R_{st} مع مقاومة المترعرض R_a من العلاقة الآتية :

$$R_T = R_a + R_{st} = \frac{V}{I_1} = \frac{200}{66,83} = 3,038 \Omega$$

ف تكون مقاومة الإقلاع الكلية :

$$R_{st} = R_T - R_a = 3,038 - 0,25 = 2,788 \Omega$$

نحسب قيمة القوة المحركة الكهربائية بوجود كامل مقاومة الإقلاع وعند الحمل الاسمي من العلاقة الآتية :

$$E_a = V_a - I_n \cdot R_T = 200 - (43,88 * 3,038) = 67 V$$

مثال: ٣-٥- لدينا محرك تيار مستمر ذو تهبيج تفرعي يملك القيم الاسمية الآتية :

$$V_n = 220 V, P_n = 15 Kw, R_a = 0,328 \Omega, I_n = 83A,$$

$$n_n = 770 \text{ rpm}$$

أحسب ما يأتي :

١- مقاومة الإقلاع الكلية ودرجاتها الثلاثة اللازمة لخفض تيار الإقلاع إلى ضعف قيمة التيار الاسمي.

٢- حساب سرعة المحرك على فراغ، وكذلك في كل مرحلة من مراحل الإقلاع.

الحل :

١- نحسب مقاومة الإقلاع الكلية :

$$R_T = R_a + R_{st} = \frac{V}{I_1} = \frac{V}{2 \cdot I_n} = \frac{220}{166} = 1,328 \Omega$$

$$R_{st} = 1,328 - 0,328 = 1 \Omega$$

نحسب تيار الإقلاع I_2 من العلاقة التالية باعتبار أن m هي عدد درجات الإقلاع وتتساوي في حالتنا 3 مراحل :

$$I_2 = I_1 \cdot \sqrt[m]{\frac{R_a}{R_a + R_{st}}} = 166 \cdot \sqrt[3]{\frac{0,328}{1,328}} = 104 A$$

نحسب درجات الإقلاع الثلاثة كما يأتي :

$$r_1 = (R_a + R_{st}) \cdot \left(1 - \frac{I_2}{I_1}\right) = (1,328) \cdot \left(1 - \frac{104}{166}\right) = 0,496 \Omega$$

$$r_2 = (R_a + R_{st} - r_1) \cdot \left(1 - \frac{I_2}{I_1}\right) = (1,328 - 0,496) \cdot \left(1 - \frac{104}{166}\right) = 0,311 \Omega$$

$$r_3 = (R_{st} - r_1 - r_2) = (1 - 0,496 - 0,311) = 0,193 \Omega$$

٢- حساب سرع المحرك المختلفة :

نستخدم كعلاقة أساسية لحساب السرع علاقة نسب القوى المحركة الكهربائية، وذلك باعتبار أن تهبيج الآلة ثابت، كما نعتبر أن تيار الآلة الكلي المسحوب من الشبكة الكهربائية مساو لتيار المترعرض، حيث يمكننا أن نهمل تيار التهبيج أمام تيار المترعرض.

في حالة العمل على فراغ فإن القوة المحركة الكهربائية ستتساوي لقيمة الجهد المطبق :

$$E_{a0} = V_n = 220 V$$

نحسب سرعة عمل المحرك على فراغ n_0 من النسبة الآتية :

$$\frac{E_{a0}}{E_{an}} = \frac{n_0}{n_n} \rightarrow n_0 = n_n \cdot \left(\frac{E_{a0}}{E_{an}}\right) = n_n \cdot \left(\frac{V}{V - I_n \cdot R_a}\right)$$

$$n_0 = 770 \cdot \left(\frac{220}{220 - 83 \cdot 0,328}\right) = 878,7 \text{ r.p.m}$$

نحسب سرعة المحرك n_1 والتي نحصل عليها بعد فصل المقاومة r_1 :

$$\frac{E_{a1}}{E_{a0}} = \frac{n_1}{n_0} \rightarrow n_1 = n_0 \cdot \left(\frac{E_{a1}}{V}\right) = n_0 \cdot \left(\frac{V - I_2 \cdot (R_a + R_{st})}{V}\right)$$

$$n_1 = 878,7 * \left(\frac{220 - 104 * (1,328)}{220} \right) = 327 \text{ r.p.m}$$

وبنفس الطريقة نحسب سرعة المحرك n_2 و n_3 بعد فصل المقاومات r_2 و r_3 على التوالي كما يأتي :

$$\frac{E_{a2}}{E_{a0}} = \frac{n_2}{n_0} \rightarrow n_2 = n_0 * \left(\frac{E_{a2}}{V} \right) = n_0 * \left(\frac{V - I_2 \cdot (R_a + R_{st} - r_1)}{V} \right)$$

$$n_2 = 878,7 * \left(\frac{220 - 104 * (1,328 - 0,496)}{220} \right) = 533 \text{ r.p.m}$$

وكذلك نحسب : n_3

$$\frac{E_{a3}}{E_{a0}} = \frac{n_3}{n_0} \rightarrow n_3 = n_0 * \left(\frac{E_{a3}}{V} \right) = n_0 * \left(\frac{V - I_2 \cdot (R_a + R_{st} - r_1 - r_2)}{V} \right)$$

$$n_3 = 878,7 * \left(\frac{220 - 104 * (1,328 - 0,496 - 0,311)}{220} \right) = 622,3 \text{ r.p.m.}$$

مثال: ٦-٣- محرك تيار مستمر ذو تهبيج تفرعي يملك القيم الاسمية الآتية :

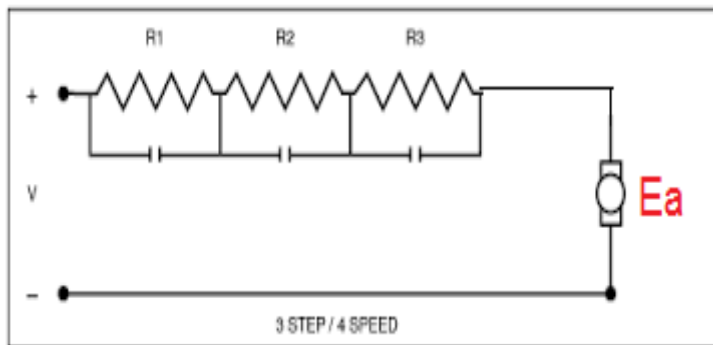
$$V_n = 250 \text{ V}, P_n = 100 \text{ hp}, R_a = 0,05 \Omega, I_n = 350 \text{ A.}$$

يراد تصميم مقاومة إقلاع لهذا المحرك بحيث تحد من قيمة تيار الإقلاع الأعظمي إلى ضعف قيمة التيار الأساسي (جزء من المقاومة يتم قصره في كل مرة يهبط فيها تيار الإقلاع إلى قيمته الاسمية)، والمطلوب :

- ١ - تحديد مقاومة الإقلاع الواجب اضافتها وعدد درجاتها للحد من قيمة التيار إلى القيمة المحددة.
- ٢ - تحديد قيمة كل جزء من المقاومة وكذلك قيمة القوة المحركة الكهربائية عند كل مرحلة فصل للمقاومة.

الحل :

- ١ - لتحديد عدد درجات الإقلاع يمكننا أن نتبع الخطوات الآتية :
 - نحدد قيمة مقاومة الإقلاع الكلية R_T اللازمة لانقصاص تيار الإقلاع إلى قيمته المطلوبة، ثم نحسب نسبة تلك المقاومة على مقاومة المترعرض $(a_1 = R_T / R_a)$.
 - نحدد نسبة تيار الإقلاع الأعظمي إلى تيار الإقلاع الأصغر $(a_2 = I_1 / I_2)$.
 - نحسب نسبة المقاومات على نسبة تيارات الإقلاع فتكون هي تقريراً عدد مراحل الإقلاع.



مقاويم الإقلاع التسلسليه مع مترعرض المحرك

تيار الإقلاع الأعظمي I_1 يساوي ضعف قيمة التيار الأساسي أي 700A وذلك عند لحظة الإقلاع أي عندما $E_a = 0$ ، ومنه يمكن حساب مقاومة الإقلاع الكلية من العلاقة الآتية :

$$R_T = \frac{V}{I_1} = \frac{250}{700} = 0,357 \Omega$$

فتكون نسبة مقاومة الإقلاع :

$$a_1 = \frac{R_T}{R_a} = \frac{0,357}{0,05} = 7,14$$

أما نسبة تيارات الإقلاع فهي :

$$a_2 = \frac{I_1}{I_2} = \frac{700}{350} = 2$$

نحسب عدد درجات الإقلاع تقريباً من النسبة الآتية :

$$n = \frac{a_1}{a_2} = \frac{7,14}{2} = 3,57$$

يمكننا إذاً اختيار ثالث مراحل لإقلاع المحرك.

عند الإقلاع تكون $E_a = 0V$ و $I_a = I_1 = 700A$ ، مقاومة الإقلاع الكلية $R_T = 0,357\Omega$. هذه المقاومة عبارة عن ثلاثة أجزاء موصولة تسلسلياً في الدارة، وذلك من لحظة الإقلاع حتى هبوط تيار الإقلاع إلى القيمة $I_2 = 350A$ ، عند هذه القيمة للتيار تكون القوة المحركة الكهربائية قد زادت نتيجة لزيادة السرعة لتصبح :

$$E_{a1} = V - I_2 \cdot R_T = 250 - 350 * (0,357) = 125 V$$

عند هذه القيمة للقوة المحركة الكهربائية وعند تيار الإقلاع $I_2 = 350 A$ يمكننا فصل أولى مقاومات الإقلاع r_1 بينما تبقى السرعة والقوة المحركة الكهربائية عند قيمتها قبل الفصل مباشرة، المقاومة المتبقية في هذه الدارة هي :

$$R_a + r_2 + r_3 = \frac{250 - 125}{700} = 0,1786 \Omega$$

بعد فصل r_1 تبدأ السرعة بالازدياد وتزداد معها القوة المحركة الكهربائية ويتناقص التيار حتى يصل إلى القيمة $I_2 = 350 A$. نحسب القوة المحركة الكهربائية في هذه اللحظة :

$$E_{a2} = V - I_2 \cdot (R_T - r_1) = 250 - 350 * (0,1786) = 187,5 V$$

عند هذه القيمة للقوة المحركة الكهربائية وعند تيار الإقلاع $I_2 = 350A$ يمكننا فصل ثاني مقاومات الإقلاع r_2 فيما زاد التيار من جديد ومبشرة إلى القيمة $I_1 = 700A$. المقاومة المتبقية في الدارة هي :

$$R_a + r_3 = \frac{250 - 187,5}{700} = 0,0893 \Omega$$

ستبقى هذه المقاومة في الدارة حتى يهبط التيار من جديد إلى $I_2 = 350 A$ نتيجة لازدياد سرعة المحرك وبالتالي قوته المحركة الكهربائية. نحسب قوة المحرك الكهربائية عند وصول التيار إلى القيمة $A = 350 A$:

$$E_{a3} = V - I_2 \cdot (R_T - r_1 - r_2) = 250 - 350 * (0,0893) = 218,75 V$$

عند هذه القيمة للقوة المحركة الكهربائية وعند تيار الإقلاع $I_2 = 350 A$ يمكننا فصل آخر مقاومة في دارة المترض وهي المقاومة r_3 ، سيزداد التيار إلى القيمة I_a :

$$I_a = \frac{a_1}{a_2} = \frac{250 - 218,75}{0,05} = 625 A$$

وهي قيمة مقبولة للتيار باعتبار أنها أقل من قيمة تيار الإقلاع الأعظمية المسموحة.

يمكننا الآن حساب قيم مقاومات الإقلاع الثلاث على النحو التالي :

$$r_3 = 0,0893 - 0,05 = 0,0393 \Omega$$

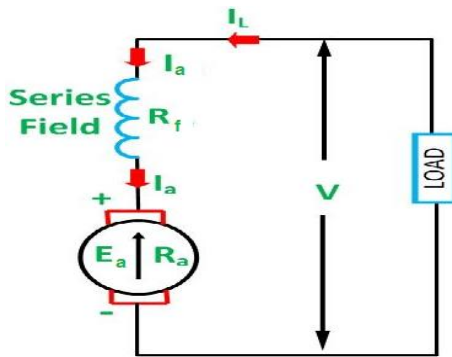
$$r_2 = 0,1786 - 0,0393 - 0,05 = 0,0893 \Omega$$

$$r_1 = 0,357 - 0,0893 - 0,05 = 0,178 \Omega$$

فتقون قيم القوة المحركة الكهربائية المقابلة لفصل المقاومات r_1 و r_2 و r_3 على الترتيب هي : $125V$ ، $187,5V$ ، $218,75V$ ، $187,5V$

٢-٢-٣- المميزات الكهروميكانية والميكانيكية لمحركات التيار المستمر التسلسلية:

تتميز محركات التيار المستمر التسلسلية بعزم إقلاع عال وسرعات كبيرة عند الأحمال الصغيرة مما يجعلها من أهم المحركات المستخدمة في الجر الكهربائي والرافعات وقطارات المترو والباصات الكهربائية. تختلف المحركات التسلسلية عن محركات التيار المستمر المستقلة والتفرعية من حيث أن الفيض المغناطيسي فيها غير ثابت ومرتبط بتغيرات الحمولة، حيث ملف التهبيج والمترض موصولان على التسلسل كما يوضح الشكل (٩-٣).



الشكل (٩-٣): الدارة المكافحة للمحرك المستمر ذي التهبيج التسلسلي

المعادلات الكهربائية والميكانيكية المميزة للمحرك المستمر ذي التهبيج التسلسلي هي :

$$\begin{aligned} V_f &= R_f \cdot I_f \\ I_L &= I_f = I_a \\ V &= E_a + (R_a + R_f) \cdot I_a \\ T_a &= C_m \cdot \phi \cdot I_a \\ E_a &= C_e \cdot \phi \cdot n \\ E_a &= C_m \cdot \phi \cdot \omega \end{aligned} \quad (٣٨ - ٣)$$

في المحرك التسلسلي يكون الفيض المغناطيسي تابع مباشرة لتيار الحمولة I_a , باعتبار أن الآلة تعمل في المجال الخطى فقط.

بالاعتماد على العلاقات (٣٨-٣) يمكننا كتابة علاقة الجهد الكهربائي بالشكل الآتى :

$$V = C_e \cdot \phi \cdot n + (R_a + R_f) \cdot I_a \quad (٤٠ - ٣)$$

أو

$$V = C_m \cdot \phi \cdot \omega + (R_a + R_f) \cdot I_a \quad (٤١ - ٣)$$

انطلاقاً من العلاقتين الأخيرتين يمكننا أن نكتب :

$$n = \frac{V}{C_e \cdot \phi} - \frac{(R_a + R_f)}{C_e \cdot \phi} I_a \quad (٤٢ - ٣)$$

أو

$$\omega = \frac{V}{C_m \cdot \phi} - \frac{(R_a + R_f)}{C_m \cdot \phi} I_a \quad (٤٣ - ٣)$$

المعادلتان الأخيرتان تمثلان المميزات الكهروميكانيكية الطبيعية لمحركات التيار المستمر التسلسلي، وهذه العلاقات هي علاقات غير خطية ومعقدة نسبياً نظراً لارتباط الفيض المغناطيسي بتيار الحمولة. إلا أنها ولتبسيط معادلات المميزات فرضنا سابقاً بأن العلاقة بين فيض الآلة المغناطيسي وتيار المحرك هو علاقة خطية. نظرأً لارتباط الفيض المغناطيسي للمحرك ϕ مع تيار المحرك I_a لذلك يمكننا كتابة معادلة عزم الآلة المستمرة على الشكل الآتى :

$$T_a = C_m \cdot \phi \cdot I_a = C_m \cdot \alpha \cdot I_a^2 \quad (٤٤ - ٣)$$

ومنه فإن تيار المحرك يعطى بالعلاقة الآتية :

$$I_a = \sqrt{\frac{T_a}{C_m \cdot \alpha}} \quad (٤٥ - ٣)$$

بتعيين قيمة الفيض المغناطيسي في العلاقة (٣٩-٣) وبالمعادلات (٤٤) و (٤٥) نجد :

$$n = \frac{V}{C_e \cdot \alpha \cdot \sqrt{\frac{T_a}{C_m \cdot \alpha}}} - \frac{(R_a + R_f)}{C_e \cdot \alpha} \quad (٤٦ - ٣)$$

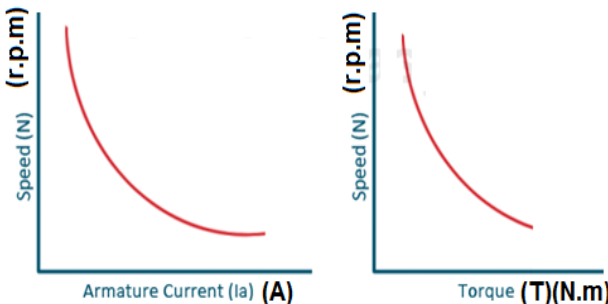
$$\omega = \frac{V}{C_m \cdot \alpha \cdot \sqrt{\frac{T_a}{C_m \cdot \alpha}}} - \frac{(R_a + R_f)}{C_m \cdot \alpha} \quad (\text{Eq } 5)$$

$$n = \frac{A}{\sqrt{T_a}} - B \quad (\xi \wedge - \mathfrak{r})$$

حیث

$$A = \frac{V}{C_e} \sqrt{\frac{C_m}{\alpha}} \quad , \quad B = \frac{(R_a + R_f)}{C_e \cdot \alpha}$$

رياضياً فإن المعادلات المعتبرة للمميزات الكهروميكانيكية والميكانيكية لها شكل قطع زائد يمكن تمثيله بيانياً على الشكل (١٠-٣).



الشكل (٣-١) المميزة الكهروميكانية والميكانيكية للمحرك المستمر التسلسلي

من الملاحظ أن سرعة المحرك تزداد مع تناقص العزم وتصل هذه السرعة إلى الالانهاء عند $T=0$ ، لذلك يحذر من تشغيل المحرك التسلسلي على فراغ حتى لا يؤدي ذلك إلى خروج المحرك عن مجال عمله الطبيعي وبالتالي إلى نلف.

إلا أنه من الناحية العملية فإن المميزات الحقيقة للمحرك المستمر التسلسلي تختلف عما توصلنا إليه نظرياً وذلك نتيجة للإشباع المغناطيسي للآلية. يتم اللجوء للطرق التحليلية البيانية لإنشاء تلك المميزات والتي تستند إلى معطيات محددة موجودة ضمن جداول مرفقة مع النشرات الفنية الخاصة بهذه المحركات تبعاً لتصميمها واستطاعتتها (غالباً ما يتم التعامل مع القيم الواحدية في هذه الجداول والنشرات). يتم الحصول على هذه المخططات والجداول من الشركات المصنعة وذلك بعد القيام بتجارب عملية على تلك المحركات بعد الانتهاء من عملية تصنيعها. أما المميزة الاصطناعية للمحرك التسلسلي فإننا نحصل عليها عند إضافة مقاومة أو مجموعة مقاومات إلى دارة المترعرض والتهييج، هذه المقاومة يمكن استخدامها مقاومة إقلاع على مرحلة أو أكثر، وكذلك للتحكم بسرعة المحرك من أجل حمولة محددة. لإنشاء المميزة الاصطناعية نعود للمعادلتين (٤-٣) و (٤-٣) ونضيف إلى الحد الثاني المقاومة R_2 لنحصل على:

$$n = \frac{V}{C_e \cdot \alpha \cdot \sqrt{\frac{T_a}{C_m \cdot \alpha}}} - \frac{(R_a + R_f + R_r)}{C_e \cdot \alpha} \quad (\xi^q - r)$$

أو

$$\omega = \frac{V}{C_m \cdot \alpha \cdot \sqrt{\frac{T_a}{C_m \cdot \alpha}}} - \frac{(R_a + R_f + R_r)}{C_m \cdot \alpha} \quad (\circ \cdot - \text{r})$$

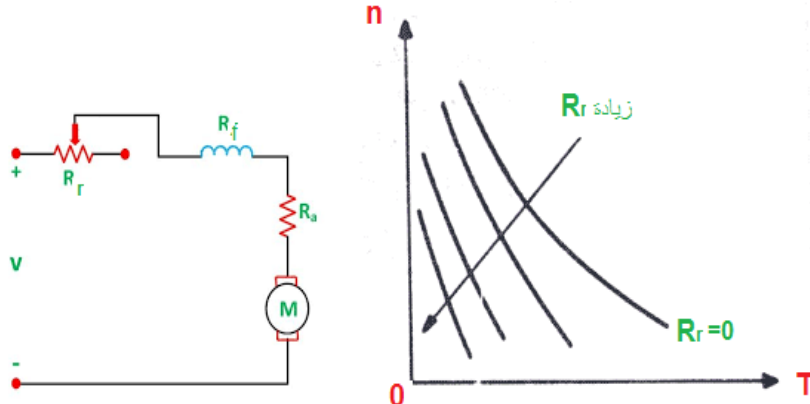
نلاحظ أن الحد الثاني من معادلات الممizza الطبيعية قد تغير، وبالتالي يمكننا كتابة المعادلة السابقة (٤٨-٣) بالنسبة للممizza الاصطناعية بالشكل الآتي :

$$n = \frac{A}{\sqrt{T_a}} - B' \quad (٥١ - ٣)$$

حيث :

$$B' = \frac{(R_a + R_f + R_r)}{C_e \cdot \alpha} \quad (٥٢ - ٣)$$

يبين الشكل (١١-٣) المميزات الطبيعية والاصطناعية للمحرك المستمر التسلسلي من أجل عدة قيم للمقاومات الخارجية المضافة إلى دارة المحرك. نلاحظ أن المميزات الاصطناعية أقل ليونة من المميزات الطبيعية وتزداد درجة انحدارها كلما ازدادت قيمة تيار الحمولة وعزمها.



الشكل (١١-٣) : المميزة الطبيعية والاصطناعية للمحرك المستمر ذي التهيج التسلسلي

مثال: ٧-٣- محرك مستمر ذو تهيج تسلسلي يتغذى بتوتر قدره ١١٠V ويسحب تياراً قدره ٣٠A عندما يدور بسرعة ١٢٠٠ r.p.m. أحسب سرعة دوران هذا المحرك عندما يستهلك تياراً مقداره ٢٠A، علماً بأن مقاومته الكلية تساوي $\Omega = 0,4$.

الحل :

أولاً نفرض أن منحني ت מגناط المحرك خطى وأن رد فعل المترعرض مهم. لحساب سرعة المحرك الجديدة نقوم بنسب القوى المحركة الكهربائية في الحالتين (عند التيار 30 A وعند 20 A) إلى بعضهما البعض. نحسب أولاً القوى المحركة في حالتين :

- في الحالة الأولى حيث التيار المسحوب 30 A

$$E_{a1} = V - (R_a + R_f) \cdot I_{a1} = 110 - 30 * (0,4) = 98 V$$

- في الحالة الثانية حيث التيار المسحوب 20 A :

$$E_{a2} = V - (R_a + R_f) \cdot I_{a2} = 110 - 20 * (0,4) = 102 V$$

وبنسبة هاتين العلاقات نجد :

$$\frac{E_{a2}}{E_{a1}} = \frac{n_2}{n_1} \cdot \frac{\phi_2}{\phi_1} \rightarrow n_2 = n_1 \cdot \left(\frac{E_{a2}}{E_{a1}} \cdot \frac{I_{a1}}{I_{a2}} \right)$$

$$n_2 = 1873,5 \text{ r.p.m}$$

٣-٢-٣- مقارنة أداء عمل محركي التيار المستمر التفرعي والتسلسلي :

بالمقارنة بين أداء المحركين التفرعي والتسلسلي نجد أن العزم في المحركات التفرعية يتتناسب مع تيار المترعرض ($T_a = \alpha \cdot I_a$) باعتبار أن الفيصل ثابت، في حين أن هذا العزم يتتناسب مع مربع التيار ($T_a = \alpha \cdot I_a^2$) في المحركات التسلسلية، وهذا يعني أن المحرك المستمر التسلسلي ينتج عزم إقلاع أعلى مما ينتجه المحرك التفرعي، وهذا ما يجعل من المحركات التسلسلية محركات ذات أهمية كبيرة في التطبيقات التي تتطلب عزوم إقلاع عالي كآلات الجر والقطارات الكهربائية على سبيل المثال. فيما يخص السرعة فإنه وكما رأينا بأن سرعة دوران المحرك التفرعي المستمر تقترباً ثابتة (حالة المميزة الطبيعية)، بينما تتغير السرعة بشكل كبير مع الحمل في المحركات التسلسلية، وتذهب للنهاية في حالة العمل على فراغ.

استطاعة العمل المفيدة تعطى بالعلاقة الآتية :

$$P_{out} = \omega \cdot T = \frac{2 \cdot \pi \cdot n}{60} \cdot T \quad (٦٧ - ٣)$$

باعتبار أن السرعة في المحرك المستمر التفريعي ثابتة لذلك فإن الاستطاعة تتناسب طرداً مع العزم ($P_{out} = \alpha \cdot T_a$)، بينما تتناسب الاستطاعة مع جذر العزم في المحرك المستمر التسلسلي ($P_{out} = \alpha \cdot \sqrt{T_a}$) (كون السرعة تتناسب عكسياً مع جذر العزم). هذا يعني أن تغيرات الحمولة ضمن مجال واسع في المحركات التسلسلية سيكون له تغيرات في العزم أقل حدة منها في المحركات التفريعية، وهذا ما يفسر قدرة المحركات المستمرة التسلسلية على تحمل زيادة في التحميل أكثر منها في المحركات التفريعية والمستقلة.

فرملة المحركات المستمرة التفرعية :

Braking of Shunt Excited D.C. Motors

هناك ثلاث طرق رئيسية لفرملة محركات التيار المستمر التفرعية كهربائياً وهي :

١- الفرملة مع إعادة القدرة إلى الشبكة الكهربائية Regenerative Braking .

٢- الفرملة الديناميكية Dynamic Braking .

٣- الفرملة بالتصريف على التضاد Plugging Counter-Current Braking .

وستتم دراسة بعض أنواع الفرملة فقط

٤-٢-٢- الفرملة الديناميكية : Dynamic Braking حتى تتحقق الفرملة الديناميكية

لابد من القيام بما يأتي :

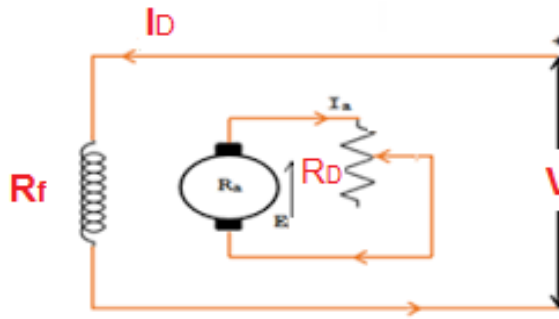
١- فصل دارة المترasmus عن التغذية الكهربائية.

٢- وصل ملفات المترasmus مع مقاومة R_D ندعوها بمقاومة الفرملة الديناميكية.

٣- المحافظة على تغذية ملف التهبيج لكي يولد فيضاً مغناطيسياً يولد بدوره قوة محركة كهربائية في ملف المترasmus، هذه القوة تكون كافية لتوليد عزم مضاد، الشكل (٤-٥).

إن هذا النوع من الفرملة يستخدم في بعض الحالات الطارئة عندما نريد إيقاف الآلة بشكل سريع ودقيق، وتعد فرملة ذات موثوقية عالية وكذلك اقتصادية ولكن أقل اقتصادية من تلك مع إعادة القدرة إلى الشبكة الكهربائية.

في هذه الفرملة يتحول المحرك إلى مولدة تيار مستمر ذات تهبيج مستقل حيث تتحول قدرته الميكانيكية مع قدرة الآلة التي يقوم بتدويرها لحظة الفرملة إلى قدرة كهربائية سرعان ما تتبدل في المقاومة R_D والموضع بالشكل (٤-٥).



الشكل (٤-٥): دارة الفرملة الديناميكية للمحرك التفرعي

عند فصل المترasmus عن التغذية الكهربائية سيصبح التيار الذي يستجره المترasmus مساوياً لـ الصفر، إلا أن المحرك يبقى مستمراً بالدوران تحت تأثير عزمه. باعتبار أن ملف التهبيج ما يزال موصولاً بالتغذية الكهربائية، إذاً ستتولد فيه قوة محركة كهربائية ($E_a = C_e \cdot \phi \cdot n$)، هذه القوة المحركة الكهربائية ستساهم في إبطال تيار مرور تيار مترasmus مقداره I_D ندعوه بتيار الفرملة، ويساوي إلى :

$$I_D = I_a = \frac{0 - E}{R_a + R_D} = \frac{-E}{R_a + R_D} \quad (٤)$$

الإشارة السالبة للتيار تعني أن التيار سيخرج من المترasmus ليتبدل في المقاومة R_D ، وهذا التيار سيولد عزماً مفرماً (كافياً) مساوياً إلى :

$$T_D = C_m \cdot \phi \cdot I_D = C_m \cdot \phi \cdot \left(\frac{-E}{R_a + R_D} \right)$$

$$T_D = -C_m \cdot C_e \cdot \frac{n \cdot \phi^2}{R_a + R_D} \quad (٤)$$

التيار سيعكس اتجاهه بشكل مباشر لحظة الفرملة بينما تبقى السرعة موجبة (اتجاه دوران المحرك) وتتناقص تدريجياً حتى تصبح مساوية لـ الصفر. تبين العلاقة (٤-٦) أنه ومن أجل فيض مغناطيسي ϕ ثابت فإن عزم الفرملة يتعلّق بمقاومة الفرملة وبسرعة الدوران.

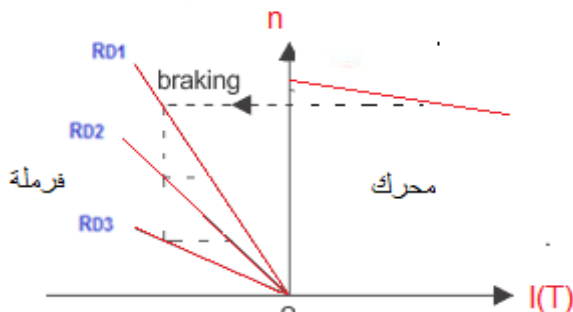
المميزة الكهروميكانيكية والميكانيكية للمحرك التفرعي في حالة الفرملة الديناميكية تصبح على التالي :

$$n = \frac{-(R_a + R_D)}{C_e \cdot \phi} I_D \quad (7 - 4)$$

$$n = \frac{-(R_a + R_D)}{C_m \cdot C_e \cdot \phi^2} T_D \quad (8 - 4)$$

العاليتين (٤ - ٧) و (٤ - ٨) عبارة عن مستقيمات تابعة لمقاومة الفرملة الديناميكية، تقع في الربع الثاني من المستوى (n, I) ومارة من المبدأ كما هو موضح على الشكل (٤-٦).

$RD1 < RD2 < RD3$



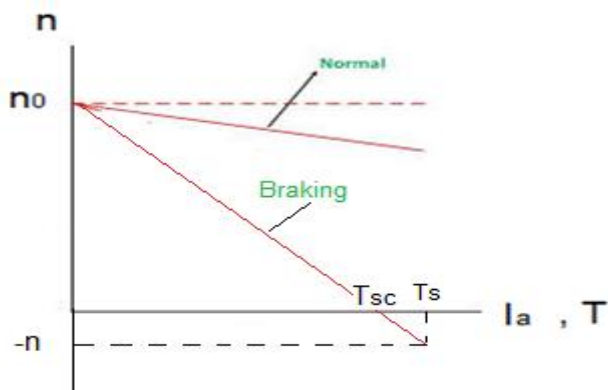
الشكل (٤-٦): المميزات الميكانيكية للمحرك المستمر التفريعي في حالة الفرملة الديناميكية

٤-٢-٣- الفرملة بعكس التوصيلات (التوصيل على التضاد) :

Plugging Counter-Current Braking

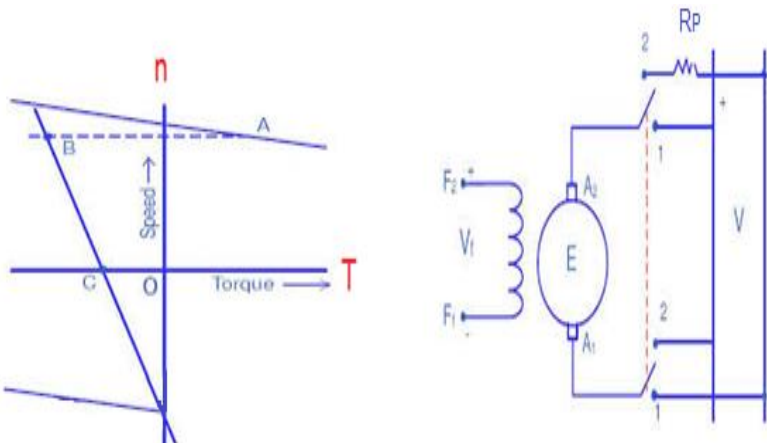
تتحقق حالة الفرملة على التضاد في حالتين :

- ١- عند دوران المحرك بعكس اتجاه عزم الدوران: وذلك تحت تأثير عزم الحمولة أو بسبب قدرته الحركية الكامنة فيه. يتحقق ذلك عندما يصبح عزم دارة القصر (T_{sc}) في الربع الأول من مميزاته أقل من عزم حمولته (T_s)، ويمكن تنفيذ ذلك عند انتقال المحرك للعمل على مميزاته الاصطناعية التي تصبح أكثر ليونة وذلك من أجل إنزال حمولات كبيرة بسرعات منخفضة، بحيث تستقر سرعة المحرك على امتداد ميزاته في الربع الرابع كما يوضح الشكل (٤-٧). في هذه الحالة يعمل المحرك على رفع الحمولة المطبقة على محوره بينما ينزل الحمل تحت تأثير نقله بسرعة معاكسة لسرعة الدوران التي يسعى المحرك لتوليدها.



الشكل (٤-٧): المميزة الكهروميكانيكية والميكانيكية للمحرك التفريعي عند الفرملة على التضاد تحت تأثير الحمولة

- ٢- عند عكس اتجاه منبع التغذية: نلأجأ لهذه الطريقة عند الحاجة لإيقاف المحرك بسرعة فائقة وكذلك عندما نريد تغيير اتجاه الدوران. في هذه الطريقة تقوم بعكس اتجاه جهة التغذية فتصبح اشارة الجهد (V) سالبة مباشرة بينما يبقى المحرك محافظاً على جهة دورانه لفترة بسبب قدرته الحركية الكامنة و عطالته قبل انتقاله للعمل في الربع الثالث. يصبح عزم المحرك لحظة التبديل سالباً، أي عزم مقاوماً للحركة مما يؤدي إلى تباطؤ سرعة المحرك حتى الصفر. باعتبار أن ما نريده هو إيقاف المحرك لذلك تقوم عند توقف المحرك باستخدام مكابح ميكانيكية خاصة بعد فصل التغذية عن المحرك، لأن عدم فصل التغذية سيؤدي إلى دوران المحرك بالاتجاه المعاكس (الربع الثالث) كما يوضح الشكل (٤-٨).



الشكل (٤-٨) : الدارة الكهربائية والمميزات الميكانيكية للمotor التفرعي عند الفرملة بعكس التوصيلات عند عكس اتجاه جهد التغذية سيصبح تيار المترasmus مساوياً إلى :

$$I_P = I_a = \frac{-V - E}{R_a} \quad (4-9)$$

وهي قيمة كبيرة جداً بحيث تخالف شروط المحرك الحراري لذلك لابد من ادخال مقاومة تسلسليّة مع دارة المترasmus لحظة عكس اتجاه التغذية، هذه المقاومة تدعى بـ مقاومة الفرملة على التضاد (R_P) وهي أكبر من مقاومة الإقلاع بعد ادخال المقاومة R_P تصبح المعادلات العامة للمميزات الكهروميكانيكية والميكانيكية للمotor التفرعي على التالي كما يأتي :

$$n = \frac{-V}{C_e \cdot \phi} + \frac{(R_a + R_p)}{C_e \cdot \phi} I_a \quad (4-10)$$

$$n = \frac{-V}{C_m \cdot C_e \cdot \phi^2} + \frac{(R_a + R_p)}{C_m \cdot C_e \cdot \phi^2} T_a \quad (4-11)$$

لحظة الفرملة ستنتقل نقطة العمل من النقطة (A) إلى النقطة (B) في الربع الثاني كما هو موضح على الشكل (٤-٨)، ثم تبدأ السرعة بالتناقص تدريجياً نتيجة لعزز الفرملة عندما تصبح السرعة متساوية للصفر عند النقطة (C). عند عدم قطع التغذية عن المحرك ولا كبحه ميكانيكيّاً سبباً للمotor بالدوران بالاتجاه المعاكس حتى تستقر سرعته عند نقطة تقاطع عزم الحمولة مع المميزة الميكانيكية المناسبة في الربع الثالث.

مثال ٤-١- محرك تيار مستمر ذو تهبيج تفرعي يملك القيم الاسمية الآتية :

$V_n=220 \text{ V}$, $P_n=32 \text{ Kw}$, $I_n=172 \text{ A}$, $n_n=1000 \text{ r.p.m}$, $R_a=0,062 \Omega$.

والمطلوب :

١- إنشاء المميزة الكهروميكانيكية الطبيعية.

٢- حساب قيمة مقاومة الفرملة الديناميكية (R_D) المناسبة مع إنشاء المميزة الموافقة لهذه الحالة. علمًا بأن مميزاته الكهروميكانيكية تمر من النقطة الموافقة لتيار الفرملة الديناميكي ($I_D=I_a$) وللسراقة $\omega_1 = 0,5\omega_n$.

٣- حساب قيمة المقاومة (R_P) اللازم اضافتها إلى دارة المترasmus عند فرملته على التضاد، وذلك عندما يدور بسرعة 600 r.p.m وتيار حمولة $I_P = 110 \text{ A}$. مع إنشاء المميزة الموافقة لهذه الحالة.

الحل :

١- يمكن أن نرسم المميزة بدالة سرعة الدوران n أو السرعة الزاويّة ω ، لحساب قيمة السرعة الزاويّة الاسمية نطبق القانون الآتي :

$$\omega_n = \frac{2 \cdot \pi \cdot n_n}{60} = \frac{2 \cdot \pi \cdot 1000}{60} = 105 \text{ rad/sec}$$

نحسب السرعة الزاويّة على فراغ :

$$\omega_0 = \frac{V}{V - I_{an} \cdot R_a} \cdot \omega_n = \frac{220}{220 - 172 \cdot (0,062)} * 105$$

$$\omega_0 = 110 \text{ rad/sec}$$

نحسب قيمة المقاومة (R_D) من معادلة التيار في حالة الفرمولة الديناميكية :

$$I_D = \frac{-E_a}{R_a + R_D} \rightarrow R_D = \frac{+E_1}{I_n} - R_a$$

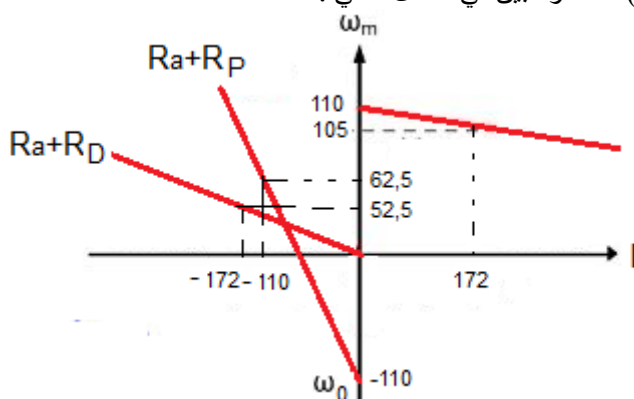
نحسب القوة المحركة الكهربائية E_1 من أجل السرعة ω_1 :

$$E_1 = C \cdot \omega_1 = C \cdot 0,5 \omega_n$$

$$C = \frac{V}{\omega_0} = \frac{220}{110} = 2 \rightarrow E_1 = 0,5 * 2 * 105 = 105 V$$

$$R_D = \frac{105}{172} - 0,062 = 0,55 \Omega$$

يمكننا الآن رسم المميزة الكهروميكانية بحيث تمر من نقطتين الأولى نقطة الصفر والثانية النقطة ذات الاحداثيات (52,5, 172) كما هو مبين في الشكل الآتي :



المميزة الطبيعية وفي حالة الفرمولة الديناميكية والوصول على التضاد

٢- نحسب قيمة المقاومة (R_P) في حالة الفرمولة على التضاد من معادلة التيار الآتية :

$$I_D = -\frac{V + E_a}{R_a + R_P} \rightarrow 110 = \frac{220 + E_2}{R_a + R_P}$$

$$E_2 = C \cdot \omega_2$$

$$\omega_2 = \frac{2\pi \cdot 600}{60} = 62,8 \frac{rad}{sec} \rightarrow E_2 = 2 * (62,8)$$

$$\omega_2 = 125,6 V$$

$$R_P = \frac{220 + 125,6}{110} = 3,08 \Omega$$

نشأ المميزة في حالة الفرمولة على التضاد على الشكل السابق، والتي تمر من النقطة (0,-110) والنقطة (110,-62,8).

التحكم بسرعة محركات التيار المستمر التفرعية :

Speed Control of D.C. Shunt Motors

بشكل عام تعطى سرعة محركات التيار المستمر بالعلاقة الآتية :

$$n = \frac{V - I_a \cdot R_T}{C_e \cdot \phi} \quad (1-5)$$

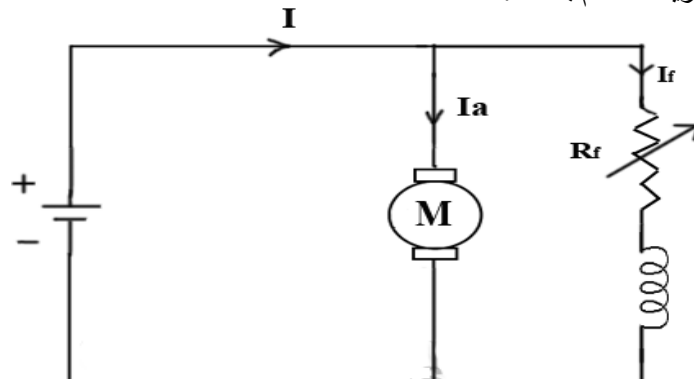
إن سرعة المحرك المستمر تتغير بتغيير أي متاحول في المعادلة السابقة، وبناءً عليه فإن سرعة المحرك المستمر التفرعي يمكن التحكم بها بإحدى الطرق الآتية :

١- تغيير تدفق الحقل المغناطيسي ϕ بوساطة مقاومة تسلسلية أو تفرعية مع ملف التهبيج. هذه الطريقة تدعى بطريقة التحكم بالحقل.

٢- تغيير الجهد على طرف المترس V_a وتيار المترس I_a بوساطة مقاومة متغيرة مربوطة على التسلسل أو على التفرع مع ملف المترس، وتسمى هذا الطريقة بطريقة التحكم بمقاومة المترس. ويمكن أيضاً استخدام منبع جهد مستمر متغير لتغذية مترس المحرك، وتسمى هذه الطريقة بطريقة التحكم بجهد المترس.

١-٢-٥ التحكم بالسرعة بتغيير مقاومة التهبيج (التحكم بالحقل) :

عندما نطبق الجهد الأساسي على المترس في محرك التيار المستمر التفرعي ونقوم بدورياً أو آلياً بتغيير الفيض المغناطيسي عن طريق تغيير قيمة مقاومة موصولة تسلسلياً مع ملف التهبيج، كما يوضح الشكل (١-٥). نسمي هذه الطريقة بطريقة التحكم بالحقل.



الشكل (١-٥) : الدارة المكافئة لمحرك تيار مستمر تفرعي مع مقاومة متغيرة مع ملف التهبيج

لفهم عملية تغيير السرعة مع مقاومة التهبيج المتغيرة R_f نفرض أن هذه المقاومة قد زادت، في هذه الحالة سينخفض تيار التهبيج ($I_f = \frac{V}{R_f}$) وبالتالي ينخفض الفيض المغناطيسي ($\phi = \alpha \cdot I_f = \alpha \cdot I_a$). انخفاض الفيض المغناطيسي سيسبب انخفاض في القوة المحركة الكهربائية ($E_a = C_e \cdot \phi \cdot n$). من أجل قيم ثابتة للجهد ولمقاومة المترس فإن انخفاض القوة المحركة الكهربائية سيسبب زيادة في تيار المترس، كما توضح العلاقة الآتية :

$$I_a = \frac{V - E_a}{R_a} \quad (2-5)$$

باعتبار أن العزم المترس في المحرك متاسب طردياً مع تيار المترس ($T_a = C_m \cdot \phi \cdot I_a$) لذلك فزيادة التيار ستسبب زيادة في عزم المحرك المترس، وهذا بدوره سيزيد من سرعة دوران المحرك.

ولفهم تأثير تغيير الفيض المغناطيسي على السرعة نوضح ذلك بالمثال العددي الآتي :

مثال ١-٥ : لدينا محرك تيار مستمر تفرعي يعمل بجهد 250V، مقاومة مترس $0,25\Omega$ وقوته المحركة الكهربائية الداخلية 245V. ماذا يحدث إذا انخفض الفيض بمقدار 1% ؟

الحل:

بناءً على معطيات المحرك نحسب تيار المترس I_a كما يأتي :

$$I_a = \frac{250 - 245}{0,25} = 20 A$$

انخفاض الفيض 1% يعني انخفاض القوة المحركة الكهربائية بالمقدار نفسه :

$$E_{a2} = 0,99 \cdot E_{a1} = 242,55 V$$

سيترفع تيار المترس إلى :

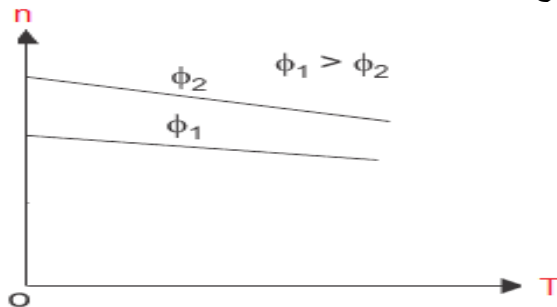
$$I_a = \frac{250 - 242,55}{0,25} = 29,8 \text{ A}$$

من الملاحظ أن انخفاض طفيف بالفيض بمقدار 1% سيسبب زيادة كبيرة بتيار بمقدار 50% تقريباً. وهذه الزيادة في تيار المترعرض ستتغلب على انخفاض الفيض، وبالتالي سيزداد العزم المترعرض T_a . في هذه الحالة سيصبح عزم المحرك المترعرض أكبر من عزم الحمولة وهذا سيسبب تسارع المحرك. نتيجة لزيادة سرعة المحرك ستزداد قوته المركبة الكهربائية الداخلية E_a المرتبطة بالسرعة، وهذا سيسبب انخفاض في تيار المترعرض تبعاً للعلاقة (٢-٥). انخفاض تيار المترعرض سيسبب انخفاض في عزم المحرك المترعرض حتى يساوي عزم الحمولة، وبالتالي انخفاض في السرعة حتى تستقر عند قيمة محددة ولكن أعلى من قيمتها قبل انخفاض الفيض.

يمكننا أن نلخص تأثير انخفاض الفيصل المغناطيسي على السرعة بما ياتي :

- ١- ازدياد R_f سبب انخفاض I_f
 - ٢- انخفاض I_f سبب انخفاض الفيصل ϕ
 - ٣- انخفاض الفيصل ϕ سبب انخفاض القوة المحركة الكهربائية E_a
 - ٤- انخفاض E_a سبب ازدياد التيار I_a
 - ٥- ازدياد التيار I_a سبب ازدياد العزم المترعرض T_{ind}
 - ٦- ازدياد العزم T_{ind} سبب ارتفاع السرعة n لأن $T_{ind} > T_{load}$
 - ٧- ازدياد السرعة E_a سبب ازدياد التيار I_a
 - ٨- زيادة E_a سبب ارتفاع السرعة n
 - ٩- انخفاض التيار I_a سبب ارتفاع العزم المترعرض T_{ind} حتى يساوي عزم الحمولة ($T_{ind} = T_{load}$) وذلك عند سرعة أعلى.

إن تأثير انقاص الفيصل المغناطيسي أو زيادة مقاومة دارة التهبيج على ميزة المحرك الميكانيكية موضحة بالشكل (٢-٥)، نلاحظ أنه بإنقاص تهبيج الآلة تزداد سرعة المحرك على فراغ ويزداد ميل منحنى السرعة-عزم. كما أن انقاص مقاومة التهبيج سوف يعكس العملية وتقصص سرعة المحرك.



الشكل (٢-٥): مميزات المحرك المستمر التفرعي عند تغير الفيصل المغناطيسي

ما سبق يتبيّن لدينا أن طريقة التحكم بالحقل تستخدم فقط من أجل الحصول على سرع أعلى من السرعة الأساسية للمحرك.

تمتاز بما يلي :

- ١- هذا النوع من التحكم اقتصادي وبسيط نسبياً ويمكن تحقيقه بدوياً أو آلياً.
 - ٢- باعتبار أن مقاومة التهيج كبيرة نسبياً، إذً فهذا النوع من التحكم لا يرافقه ضياعات كبيرة بالاستطاعة وبالتالي فمحدود هذه الطريقة جيد نسبياً.
 - ٣- يعد هذا النوع من التحكم مرن ولا يرافقه قفازات بالسرعة طالما تغير الحقل يتم ضمن حدود معينة.

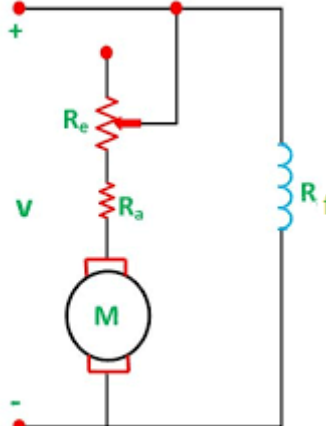
باعتبار أن انخفاض بسيط بالتدفق المغناطيسي قد سبب، كمارأينا في المثال (١-٥)، زيادة كبيرة في تيار المتر accrue وبالناتي بالعزل والسرعة، لذلك فإن تضييف الحقل المغناطيسي لابد أن يتم ضمن حدود ضيق، وهذا ما يفرض علينا بأن يتم إقلاع المحرك المستمر بتيار تهيج كامل (اسمي) ومن ثم يتم تخفيض الحقل بزيادة مقاومة الحقل.

- من مساوى طريقة التحكم بالحقل :

- ١- عدم القدرة على الحصول على سرعات أقل من السرعة الاسمية.
 - ٢- عدم الاستقرار عند سرعات عالية بسبب ردة فعل المتردّض.
 - ٣- صعوبة التبديل وامكانية ضرر المبدل (المجمع) عند سرعات عالية.

٥-٢-٢- التحكم بالسرعة بتغيير مقاومة المترعرض التسلسلية :

تعتمد هذه الطريقة في التحكم على تخفيض الجهد على طرفي المترعرض بوساطة مقاومة موصولة على التسلسل مع دارة المترعرض، كما يبين الشكل (٣-٥).



الشكل (٣-٥) : التحكم بسرعة المحرك التفرعي بوساطة تغيير مقاومة دارة المترعرض

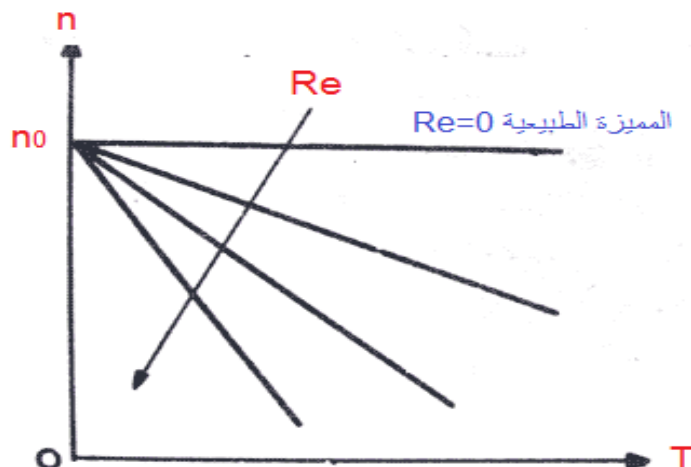
إن زيادة مقاومة دارة المترعرض ستخفف الجهد على طرفي المترعرض، مما يسبب بالنتيجة انخفاض بسرعة المحرك. لذلك نلجأ لهذه الطريقة عندما نريد الحصول على سرعات أقل من السرعة الاسمية للمحرك.

أما فيما يخص مميزات المحرك الميكانيكية فإن ميل منحني المميزة يزداد بزيادة مقاومة المترعرض، إلا أن سرعة المحرك على فراغ تبقى ثابتة كما يوضح الشكل (٤-٥).

فكلاًما كانت قيمة مقاومة المترعرض أكبر كان تنظيم السرعة أسوأ، وهذا ما تعبر عنه رياضياً معادلة المميزة الميكانيكية للمحرك :

$$n = \frac{V}{C_e \cdot \phi} - \frac{(R_a + R_e)}{C_e \cdot C_m \cdot \phi^2} T_a = n_0 - \Delta n \quad (٣ - ٥)$$

يمكن أيضاً الاستفادة من المقاومة المضافة في مرحلة إقلاع المحرك المستمر بهدف تحفيض تيار الإقلاع. إلا أن إدخال مقاومة متغيرة للتحكم بالسرعة تعتبر طريقة غير مجدية عملياً وذلك بسبب صياغات الاستطاعة الكبيرة في المقاومة التسلسلية المضافة وخاصة عند الاستطاعات العالية، لذلك فإنه نادرًا ما يتم استخدام هذه الطريقة في التطبيقات التي تكون فيها استطاعة المحرك كبيرة نسبياً.



الشكل (٤-٤) : المميزات الميكانيكية للمotor التفرعي عند تغيير مقاومة المترعرض

يمكننا تلخيص ميزات التحكم بمقاومة المترعرض بما يأتي :

١- بساطة الدارة وسهولة التنظيم.

٣- امكانية الاستفادة من المقاومة التسلسلية أثناء إقلاع المحرك.

أما فيما يخص سلبيات هذه الطريقة فهي :

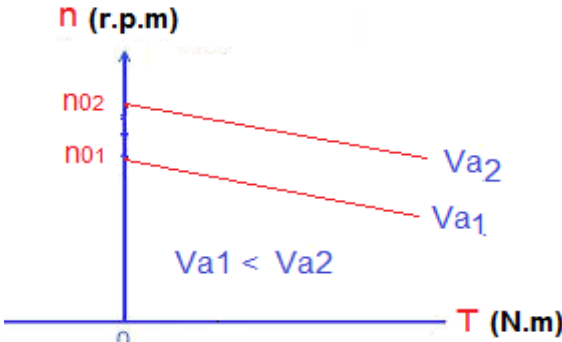
١- لا يمكن تنظيم السرعة إلا في المجال تحت المميزة الطبيعية، أي عند السرع المنخفضة فقط.

- ٢- الكلفة العالية نسبياً لمقاومات متغيرة كبيرة قادرة على تبديد كميات كبيرة من الحرارة (خاصة عند الاستطاعات العالية).
- ٣- تنظيم السرعة يعتبر سيناً من أجل أي سرعة على فراغ بسبب زيادة ليونة المحرك مع زيادة المقاومة.
- ٤- مردود منخفض بسبب الضياعات الكبيرة في مقاومة التنظيم.
- ٥- صعوبة الحصول على تحكم دون قفزات في السرعة عند الاستطاعات العالية.
- ٦- من أجل العزوم الصغيرة لا يمكن التحكم بسرعة الدوران وتنظيمها إلا في حدود ضيقة.

التحكم بالسرعة بتغيير الجهد على المترعرض :

من الطرق العملية المتتبعة للتحكم بعزم وسرعة محركات التيار المستمر هي طريقة تغيير قيمة جهد تغذية ملف المترعرض، من دون تغيير الجهد على ملف التهيئة. بشكل عام قد لا يكون مردود المحركات الكهربائية الصغيرة مهماً بينما يعتبر مهماً للغاية في حالة المحركات ذات الاستطاعة العالية. كما أن العزم والتنظيم الجيد للسرعة والتحكم الناعم بسرعة المحركات ومن بدون قفزات يعد من الأمور المهمة في تشغيل أغلب المحركات، الكبيرة منها والصغيرة.

كل هذه الأمور يمكن تحقيقها عن طريق استخدام منبع جهد مستمر متغير لتغذية متعرض المحرك المستمر. هذه الطريقة تستغني عن استخدام مقاومات تسلسلية للحد من قيمة تيارات الإقلاع العالية. بزيادة الجهد المطبق على متعرض المحرك سيزداد تيار المتعرض وبالتالي يزداد العزم المتعرض للمحرك، وهذا بدوره سيزيد من سرعة الدوران لأن عزم المحرك المتعرض أصبح أكبر من عزم الحمولة. بزيادة السرعة تزداد القوة المحركة الكهربائية للمحرك وهذا يؤدي إلى نقصان تيار المتعرض حتى يتساوى عزم المحرك مع عزم الحمولة ($T_{ind} = T_{load}$)، وبالتالي تنقص سرعة الدوران حتى تستقر عند قيمة جديدة ولكن أعلى من السرعة قبل زيادة الجهد. يبين الشكل (٧-٥) المميزة الميكانيكية للمحرك المستمر التفرعي عند زيادة الجهد. نلاحظ أن ميل المنحني يبقى ثابتاً، إلا أن سرعة اللامبالاة تتزاوج للأعلى مع زيادة الجهد المطبق على المتعرض.



الشكل (٧-٥): المميزة الميكانيكية للمحرك المستمر التفرعي عند تغيير الجهد

٥-٢-٥- مقارنة بين طرق التحكم بالسرعة السابقة :

رأينا سابقاً بأن زيادة تيار التهيئة تنقص سرعة المحرك وذلك عند عمل المحرك عند قيمه الاسمية (جهد اسمي، تيار اسمي، سرعة اسمية، تيار تهيئة اسمي...)، لذلك يمكن القول بأن التحكم بمقاومة التهيئة من شأنها أن تزيد السرعة فوق السرعة الاسمية للمحرك.

طريقة التحكم بجهد المتعرض وجدنا أن سرعة المحرك تتناسب طرداً مع الجهد فهي تزيد مع زيارته وتنقص مع نقصانه، إلا أن هناك سرعة عظمى يحددها الجهد الأعظمي المسموح بتطبيقه على المحرك. لذلك تستخدم طريقة التحكم بجهد المتعرض للتحكم بالمحرك عند السرع الأقل من السرعة الاسمية.

بالنتيجة تعد طريقة التحكم بمقاومة التهيئة والتحكم بجهد المتعرض أكثر الطرق استخداماً لتغيير سرعة المحرك، كما تعتبر هاتان الطريقتين متممتان بعضهما البعض، وبجمع هاتين الطريقتين يمكننا التحكم بسرعة المحرك ضمن مجال واسع.

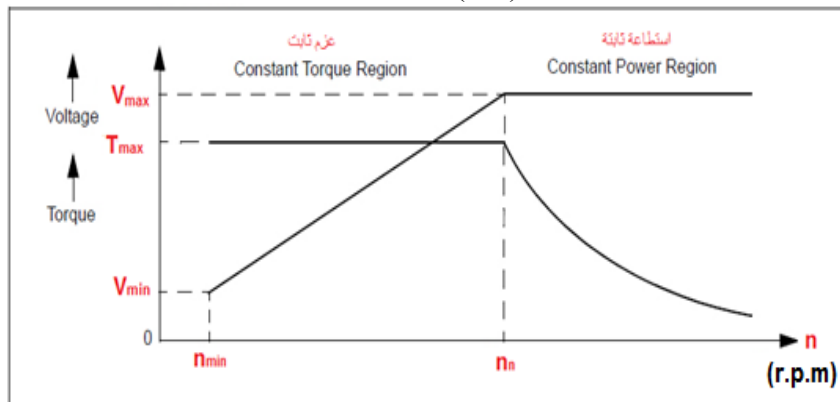
عند التحكم بجهد المتعرض فإن الفيض المغناطيسي في المحرك يبقى ثابتاً باعتبار أن جهد تهيئة الآلة يبقى ثابتاً، وبالتالي فإن العزم الأعظمي للمحرك يبقى ثابتاً على الرغم من تغيير سرعة المحرك:

$$T_{max} = C_m \cdot \phi \cdot I_{max} \quad (٤)$$

تعطى استطاعة المحرك الاعظمية بالعلاقة الآتية :

$$P_{max} = \omega \cdot T_{max} \quad (٥)$$

وهذا يعني أن استطاعة الخرج الميكانيكية متعلقة بالسرعة وتتناسب طرداً معها، بينما في طريقة التحكم بالتهبيج فإن فيض الآلة سينقص وهذا يسبب زيادة في السرعة. حتى لا يتجاوز تيار المترعرض القيمة المسموحة لابد من أن ينقص العزم الحدي عند زيادة السرعة. في هذه الحالة فإن استطاعة المحرك تبقى ثابتة بينما ينقص العزم الأعظمي مع السرعة، وهذا ما يوضحه الشكل (٨-٥).



الشكل (٨-٥): تغيرات العزم والاستطاعة مع السرعة

مثال ٢-٥ - محرك تيار مستمر ذو تهبيج قفرعي يملك القيم الاسمية الآتية :

$$V_n = 250 \text{ V}, P_n = 100 \text{ hp}, R_f = 41,67 \Omega, R_a = 0,03 \Omega$$

بفرض أن تيار الحمل هو 126A عند سرعة أولية 1103 r.p.m. أوجد سرعة دوران المحرك إذا زادت مقاومة التهبيج حتى 50Ω، باعتبار أن عزم المحرك يبقى ثابتاً.

الحل :

حسب أول تيار المترعرض قبل زيادة مقاومة التهبيج :

$$I_{a1} = I_{L1} - I_{f1} = 126 - \frac{250}{41,67} = 120 \text{ A}$$

ف تكون القوة المحركة الكهربائية E_{a1} :

$$E_{a1} = V - I_{a1} \cdot R_a = 250 - 120 * (0,03) = 246,4 \text{ V}$$

تيار التهبيج الجديد بعد زيادة مقاومة التهبيج :

$$I_{f2} = \frac{V}{R_{f2}} = \frac{250}{50} = 5 \text{ A}$$

لحساب السرعة الجديدة نلجأ إلى طريقة نسب القوى المحركة الكهربائية :

$$\frac{E_{a2}}{E_{a1}} = \frac{C_e \cdot \phi_2 \cdot n_2}{C_e \cdot \phi_1 \cdot n_1}$$

نفرض أن العلاقة خطية بين الفيض وتيار التهبيج فيكون :

$$\frac{E_{a2}}{E_{a1}} = \frac{I_{f2} \cdot n_2}{I_{f1} \cdot n_1}$$

لحساب E_{a2} علينا ايجاد I_{a2} ، و لحساب تيار المترعرض I_{a2} نلجأ لـ نسبة العزوم :

$$\frac{T_{a2}}{T_{a1}} = \frac{C_m \cdot \phi_2 \cdot I_{a2}}{C_m \cdot \phi_1 \cdot I_{a1}}$$

باعتبار أن عزم المحرك يبقى ثابتاً إذاً يمكننا أن نكتب العلاقة السابقة بالشكل الآتي :

$$1 = \frac{I_{f2} \cdot I_{a2}}{I_{f1} \cdot I_{a1}}$$

$$I_{a2} = \frac{I_{f1}}{I_{f2}} \cdot I_{a1} = \frac{6}{5} * 120 = 144 \text{ A}$$

وبالتالي تكون E_{a2} :

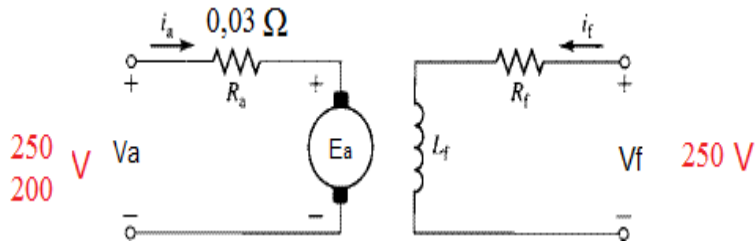
$$E_{a2} = V - I_{a2} \cdot R_a = 250 - 144 * (0,03) = 245,7 \text{ V}$$

تصبح سرعة المحرك الجديدة n_2 :

$$n_2 = n_1 \cdot \frac{I_{f1} \cdot E_{a2}}{I_{f2} \cdot E_{a1}} = 1103 * \frac{245,7 * (6)}{246,4 * (5)} = 1320 \text{ r.p.m.}$$

مثال ٣-٥- من أجل المحرك السابق نفسه، لو فرضنا أنه تم تغذية ملف التهبيج بشكل منفصل عن المترعرض، من أجل عزم حمولة ثابت أحسب سرعة المحرك الجديدة وذلك عند انفصال جهد المترعرض إلى 200V.

الحل:



باعتبار أن تيار المترعرض 120A وجهد المترعرض 250V، لذلك تكون القوة المحركة الكهربائية:

$$E_{a1} = V - I_{a1} \cdot R_a = 250 - 120 * (0,03) = 246,4 \text{ V}$$

وبنسبة القوى المحركة الكهربائية نحصل على :

$$\frac{E_{a2}}{E_{a1}} = \frac{n_2}{n_1}$$

$$n_2 = \frac{E_{a2}}{E_{a1}} \cdot n_1$$

: E_{a2} - نحسب

$$E_{a2} = V - I_{a2} \cdot R_a = 200 - 120 * (0,03) = 196,4 \text{ V}$$

فتقع السرعة الجديدة للمحرك :

$$n_2 = \frac{246,4}{196,4} * 1103 = 879 \text{ r.p.m.}$$